



Classification OMS 2015 des tumeurs pulmonaires : Changements de paradigme

Elisabeth Brambilla

INSERM U1022 Institut Albert Bonniot

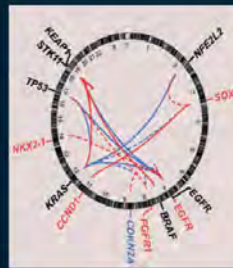
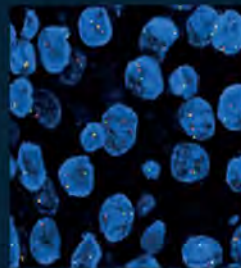
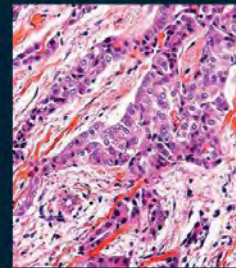
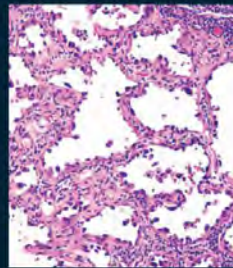
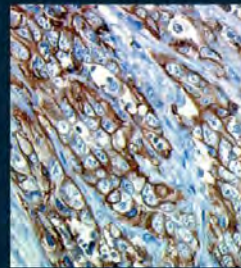
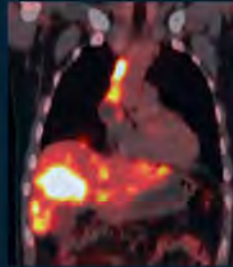
CHU Grenoble ; Université Grenoble Alpes

France

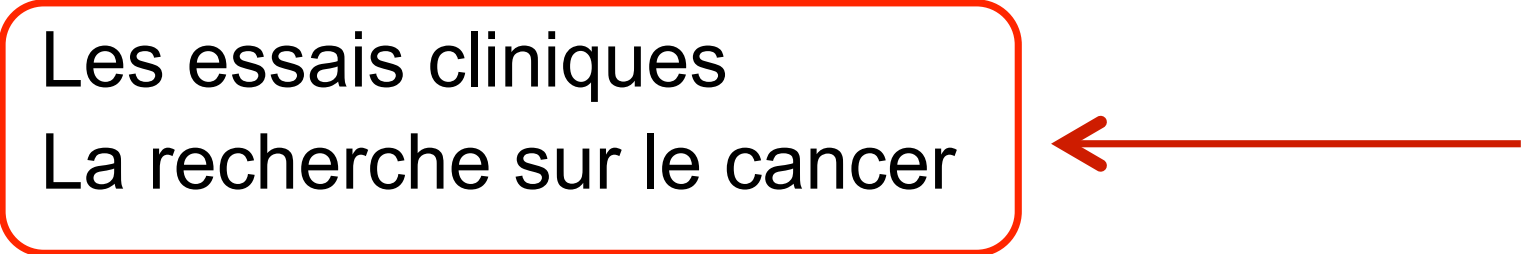
WHO Classification of Tumours of the Lung, Pleura, Thymus and Heart

Edited by

William D. Travis, Elisabeth Brambilla, Allen P. Burke, Alexander Marx, Andrew G. Nicholson

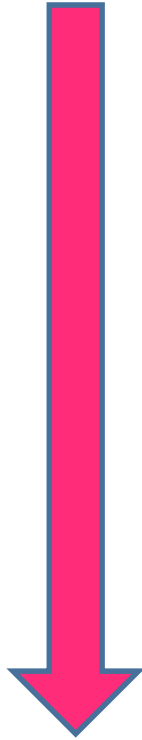


Qu'est-ce qu'une classification OMS?

- Une classification pathologique et génétique de tumeurs humaines destinée à être acceptée et utilisée à travers le monde.
 - Procure les critères standards pour
 - Le diagnostic pathologique
 - La pratique clinique
 - Les registres des cancers
 - Les études épidémiologiques
 - Les essais cliniques
 - La recherche sur le cancer
- 

INCREASING COMPLEXITY

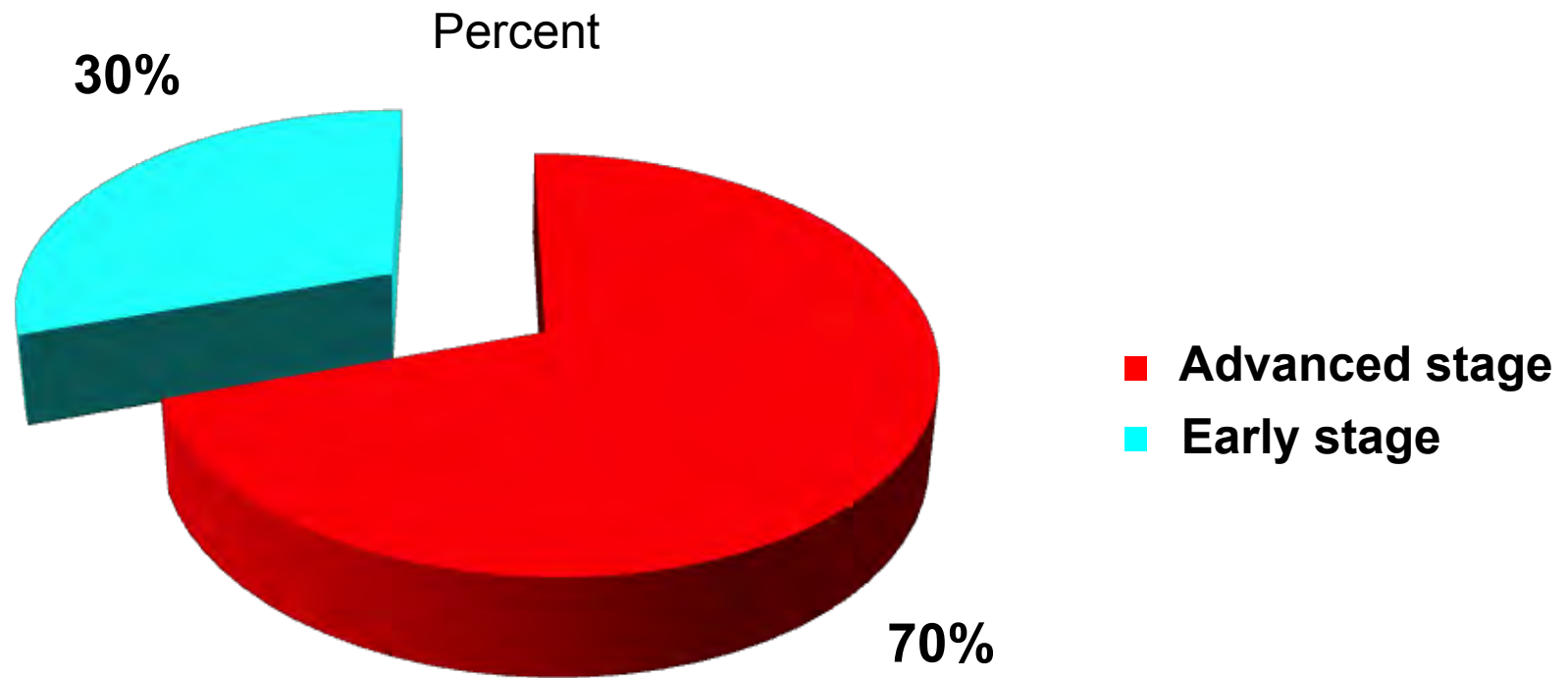
- 1967 WHO
- 1981 WHO
- 1999 WHO
- 2004 WHO
- 2015 WHO



- H&E
- H&E & Mucin
- H&E, EM & IHC
- H&E, EM, IHC & Genetics
- H&E, Cytology, IHC, Genetics, Mucin, Radiology

**INCREASING RELEVANCE FOR
PERSONALIZED MEDICINE**

Cancer non à petites cellules : 70% diagnostiqués au stade avancé : Biopsies



Classification OMS 2015 : Impact sur la prise en charge des patients au stade avancé

- Critères / terminologie pour les petites biopsies /cytologie
- Sous typage histologique plus précis
- Stratégie de management des specimens
- Programmation rationnelle des biomarqueurs moléculaires .
- Nécessité d'une équipe multidisciplinaire

Les thérapies ciblées font émerger le besoin d'un diagnostic histologique précis et de tests moléculaires

- Prédiction de réponse des adénocarcinomes
 - *EGFR* mutation – TKI's
 - Adenoca or NSCC-NOS – pemetrexed
 - *ALK / Ros* fusion/ *MET* exon 14 skipping - crizotinib
- Prédiction de toxicité des ca.épidermoïdes
 - Bevacizumab – contrindiqué car entraînant de graves hémorragies

Changements majeurs de la classification avec un impact diagnostique chez les patients opérés

- **Adénocarcinome:**
adoption de la classification IASLC/ATS/ERS
- **Carcinome à grandes cellules:** (large c. carcinoma)
restreints aux tumeurs dépourvues de signes de
différentiation claire morphologique ou
immunohistochimique (phénotypique)
- **Carcinomes épidermoïdes**
keratinisants, nonkeratinisants (P40 nécessaire)
et basaloïdes
- **Tumeurs NE** regroupées (TC,AC,LCNEC,SCLC)

Classification OMS 2015 des adénocarcinomes adoptée à la classification multidisciplinaire IASLC/ATS/ERS

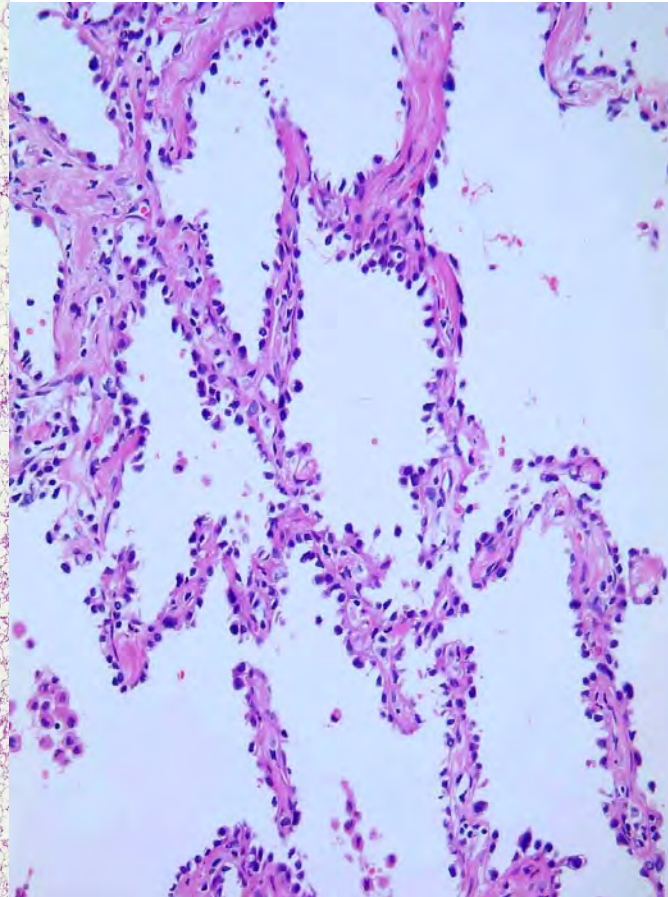
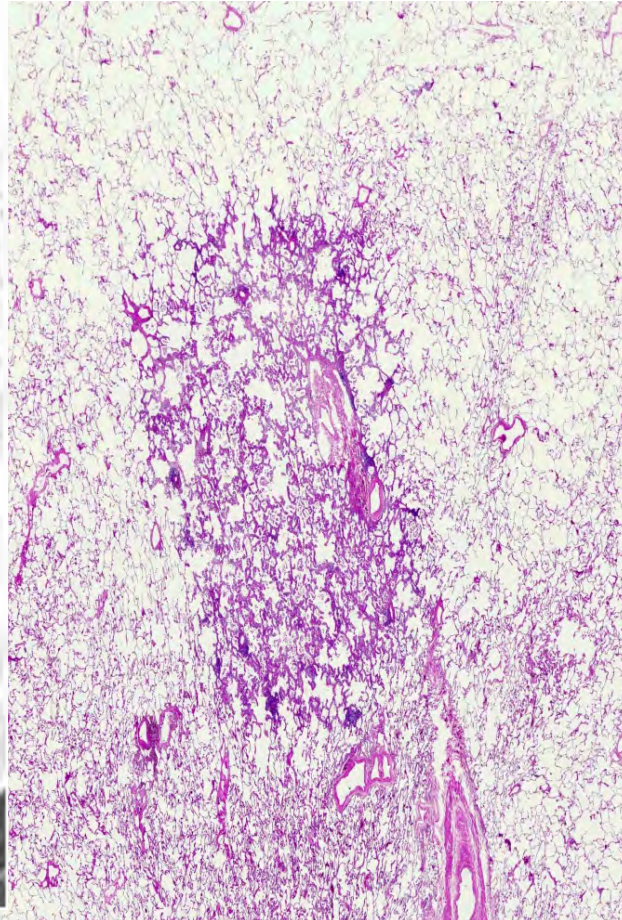
International Association for the Study of Lung Cancer/American Thoracic Society/European Respiratory Society International Multidisciplinary Classification of Lung Adenocarcinoma

William D. Travis, MD, Elisabeth Brambilla, MD, Masayuki Noguchi, MD, Andrew G. Nicholson, MD, Kim R. Geisinger, MD, Yasushi Yatabe, MD, David G. Beer, PhD, Charles A. Powell, MD, Gregory J. Riely, MD, Paul E. Van Schil, MD, Kavita Garg, MD, John H. M. Austin, MD, Hisao Asamura, MD, Valerie W. Rusch, MD, Fred R. Hirsch, MD, Giorgio Scagliotti, MD, Tetsuya Mitsudomi, MD, Rudolf M. Huber, MD, Yuichi Ishikawa, MD, James Jett, MD, Montserrat Sanchez-Cespedes, PhD, Jean-Paul Sculier, MD, Takashi Takahashi, MD, Masahiro Tsuboi, MD, Johan Vansteenkiste, MD, Ignacio Wistuba, MD, Pan-Chyr Yang, MD, Denise Aberle, MD, Christian Brambilla, MD, Douglas Flieder, MD, Wilbur Franklin, MD, Adi Gazdar, MD, Michael Gould, MD, MS, Philip Hasleton, MD, Douglas Henderson, MD, Bruce Johnson, MD, David Johnson, MD, Keith Kerr, MD, Keiko Kuriyama, MD, Jin Soo Lee, MD, Vincent A. Miller, MD, Iver Petersen, MD, PhD, Victor Roggli, MD, Rafael Rosell, MD, Nagahiro Saijo, MD, Erik Thunnissen, MD, Ming Tsao, MD, and David Yankelwitz, MD

Classification des adénocarcinomes WHO 2015 : résections

- **Lésions préinvasives**
 - **Hyperplasie Atypique Adenomateuse**
 - **Adénocarcinome In Situ (ex BAC) : AIS**
 - **non-mucinous**
 - **mucinous**
- **Adénocarcinome à invasion minime : MIA**
- **Adénocarcinome invasif**

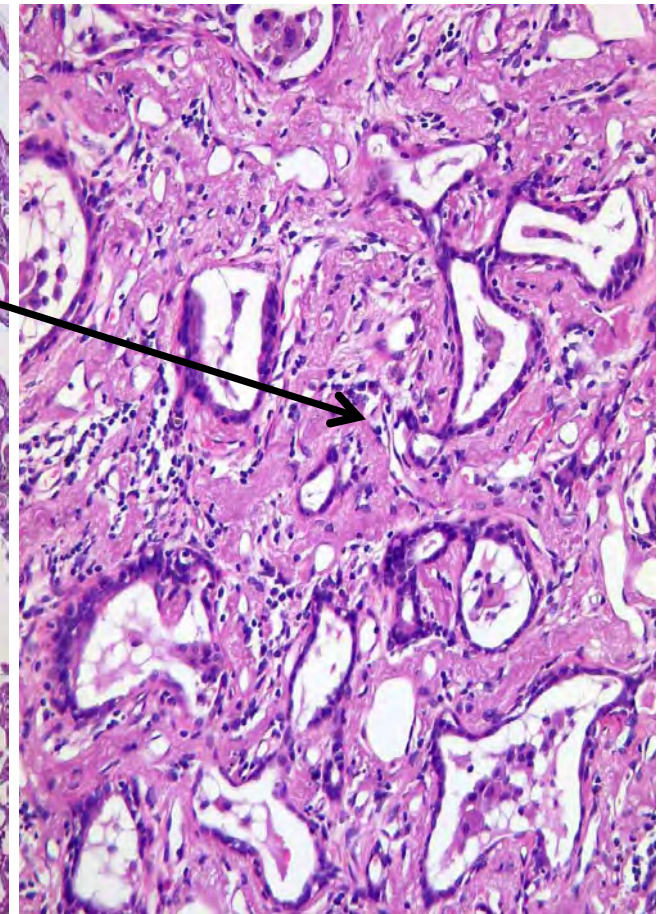
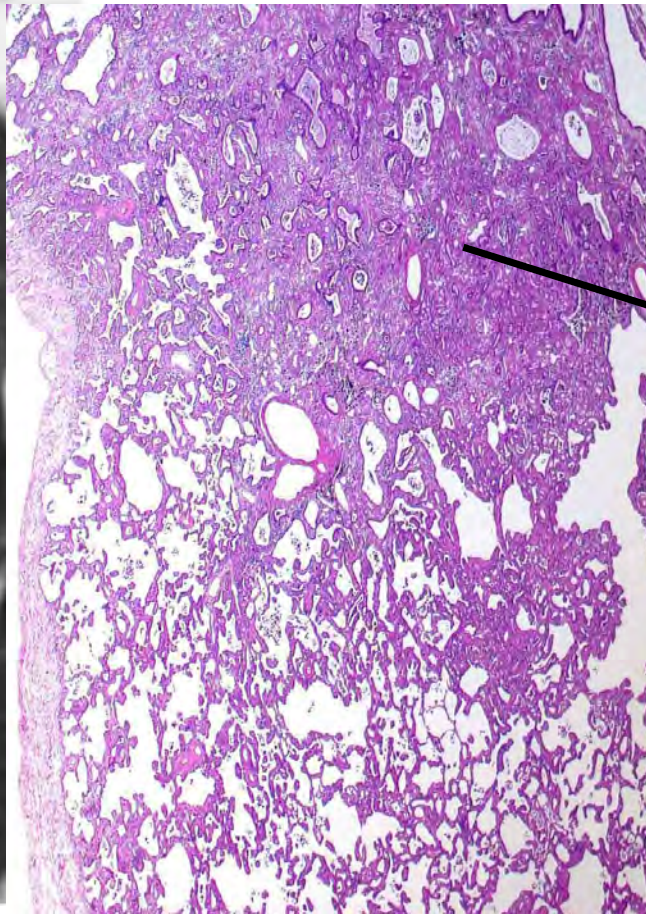
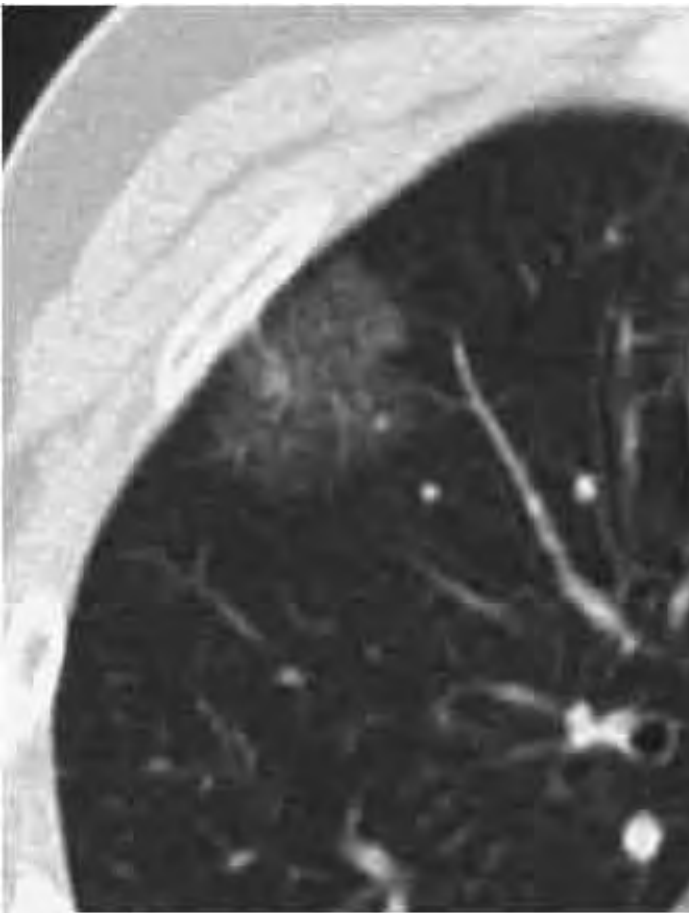
Adénocarcinome in situ non-mucineux



Classification des Adénocarcinomes

- **Lésions Preinvasives**
 - Atypical Adenomatous Hyperplasia (AAH)**
 - Adenocarcinoma In Situ (ex BAC)**
 - non-mucineux
 - mucineux
- **Adénocarcinome à invasion minimale : MIA**
 - diamètre $\leq 3\text{cm}$
 - prédominance lépidique avec $\leq 5\text{mm}$ invasion
 - 5 year survival = 100% si résection complète
- **Adénocarcinome invasif**

Adénocarcinome à invasion minimale non-mucineux

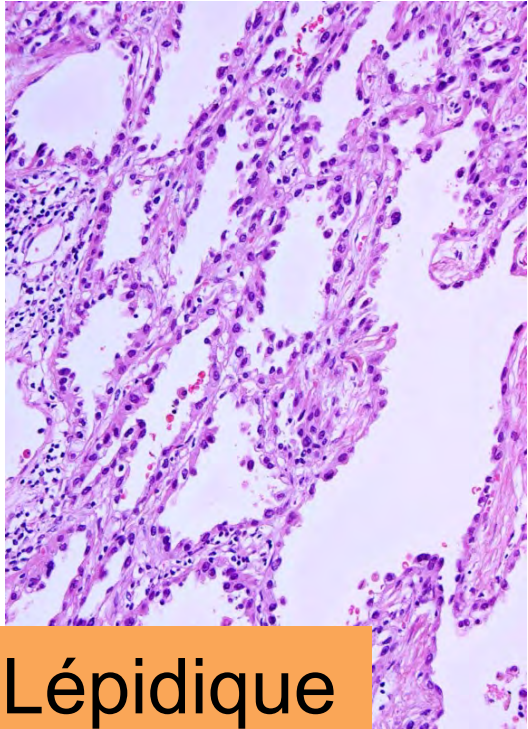


Classification OMS 2015 : Adénocarcinomes

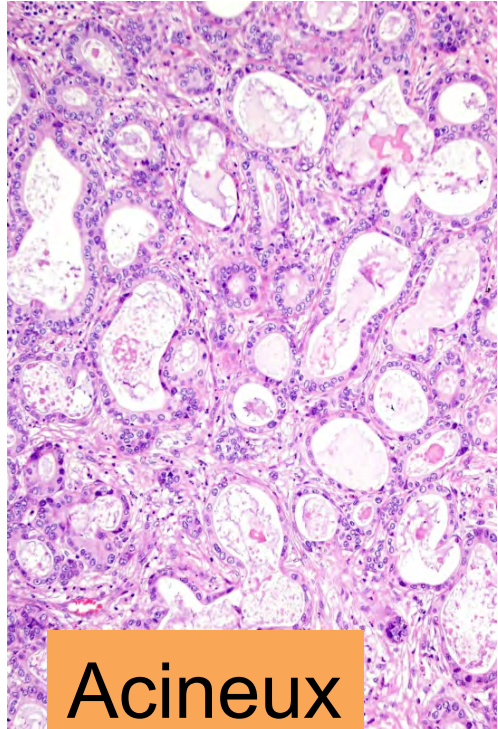
Adénocarcinomes invasifs

- Adénocarcinome lépidique (ex BAC non-mucineux)
- Adénocarcinome papillaire
- Adénocarcinome acineux
- Adénocarcinome micropapillaire
- Adénocarcinome solide (**avec mucines ou TTF1 positif**)

(selon l'architecture prédominante par analyse semiquantitative par intervalles de 5-10%)

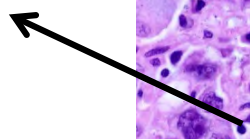


Lépidique

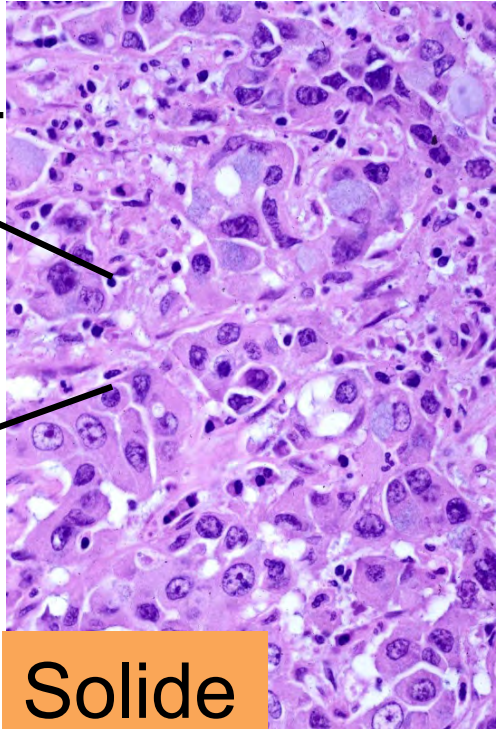
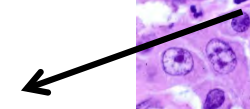


Acineux

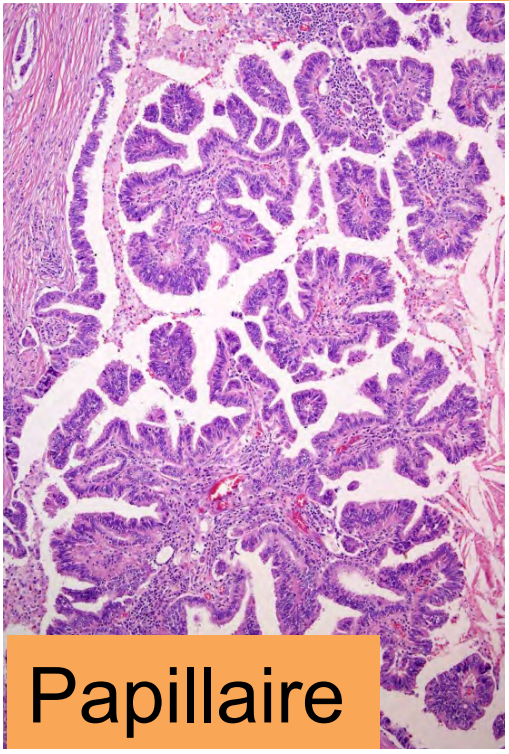
Mucin +



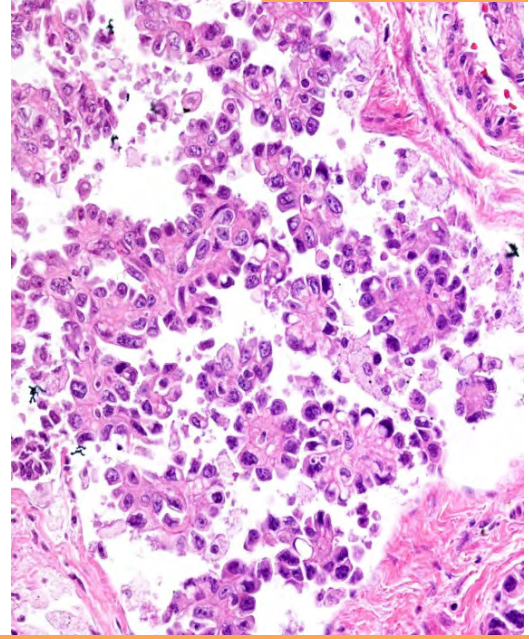
TTF1 +



Solide



Papillaire



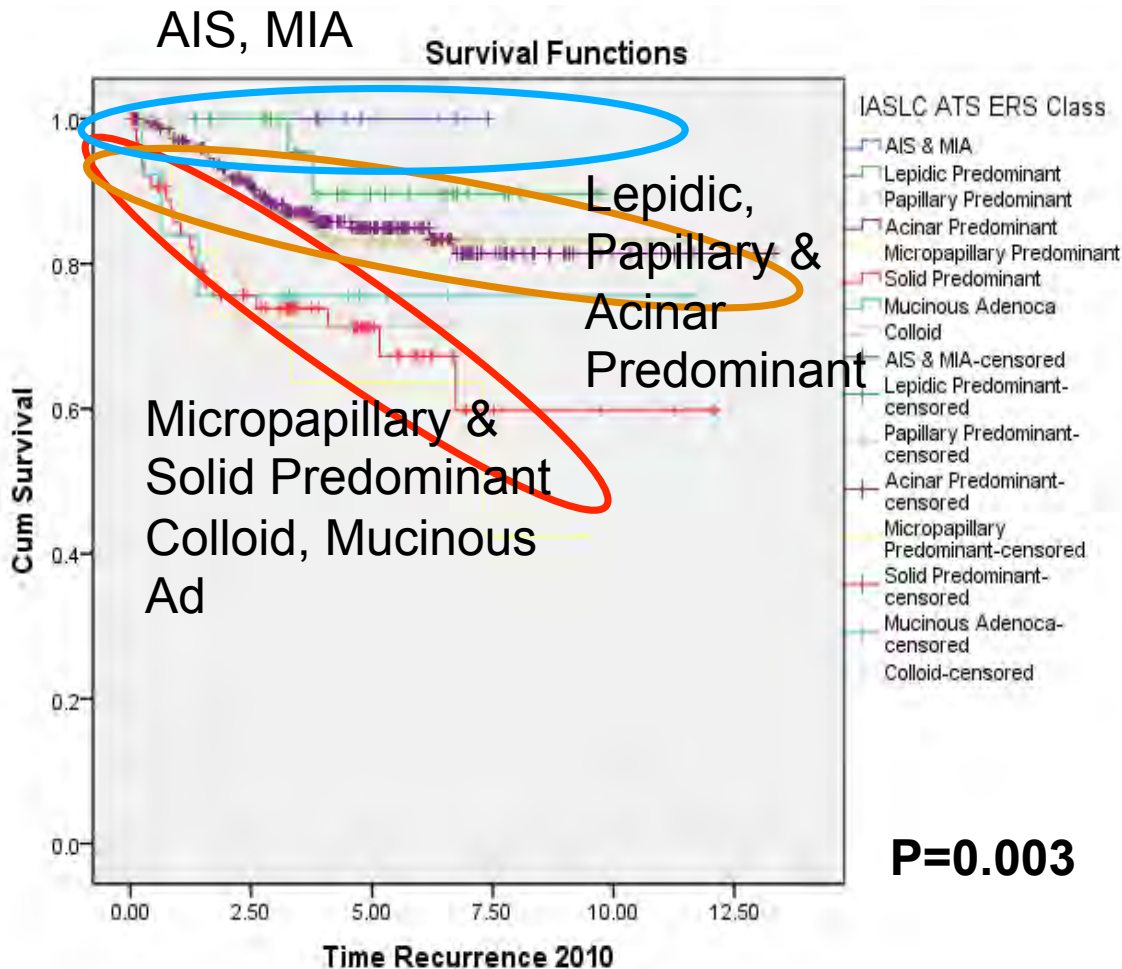
Micropapillaire

La classification participe à la gestion des patients opérés

- Prédit survie et rechute
- Définit AIS & MIA : 100% et presque 100% de survie si résection complète
- Prédit un bénéfice de survie par la chimiothérapie cisplatine-adjuvante
- Permet les corrélations radio-pathologiques
- Impacte le Staging TNM
 - Taille de la zone invasive = T du TNM
 - Comparaison des tumeurs multiples = primaires ou métastases intrapulmonaires

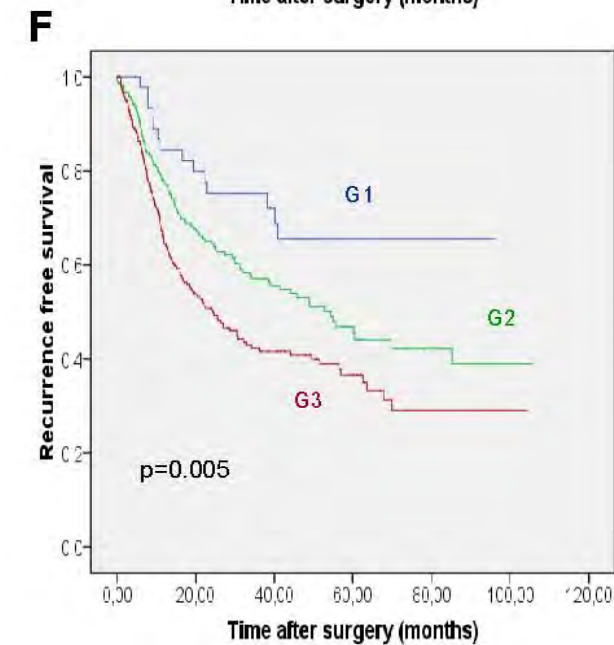
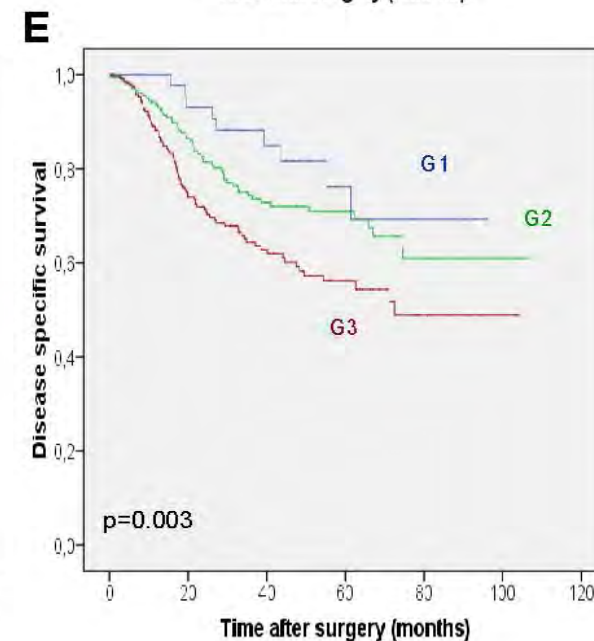
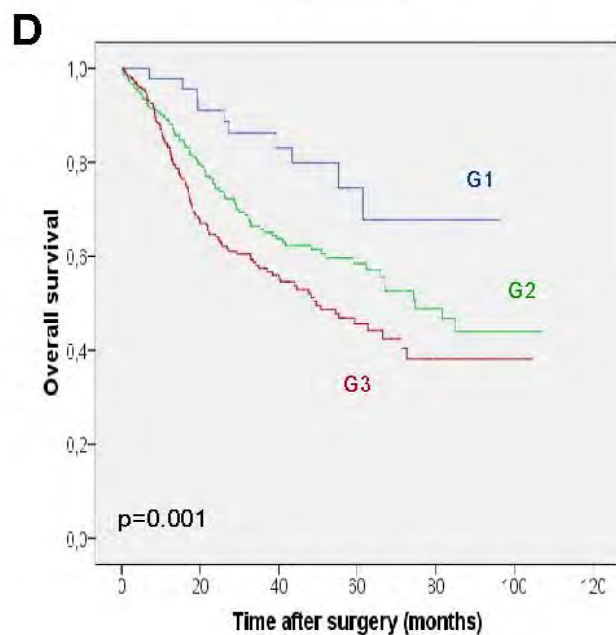
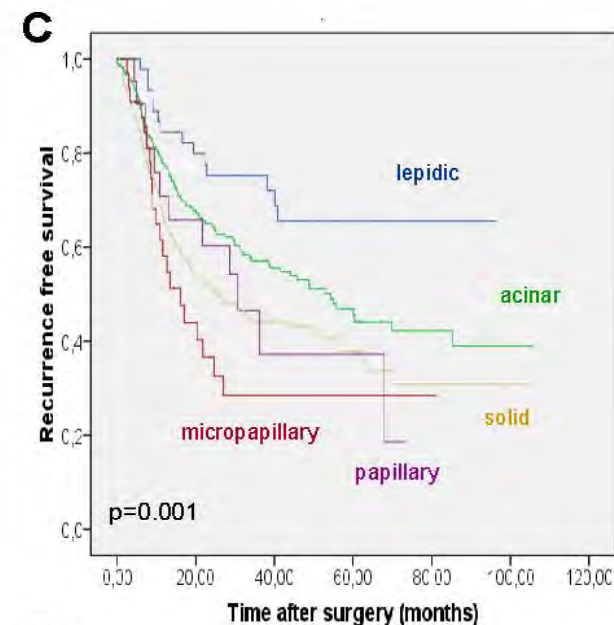
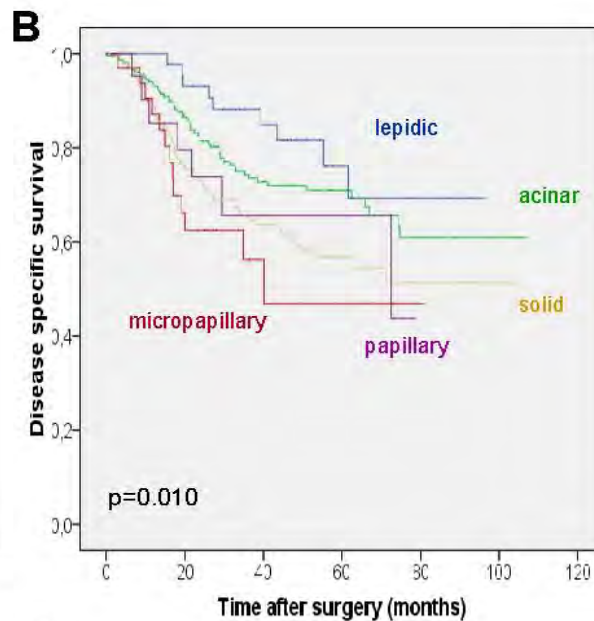
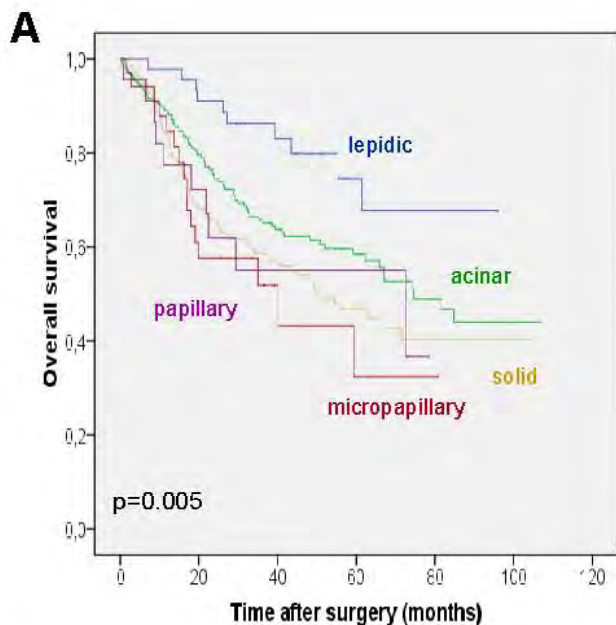
Adénocarcinomes Stade I (N=514)

Recurrence-free survival (RFS) by histologic type



Histologic Type (N)	5 Year RFS %
AIS (1)	100
MIA (8)	100
Lepidic NM (29)	90
Papillary (143)	83
Acinar (232)	85
Inv Mucinous Ad (13)	76
Solid (67)	71
Micropapillary (12)	64
Colloid (9)	71

Valeur pronostique dans 533 adénocarcinomes opérés

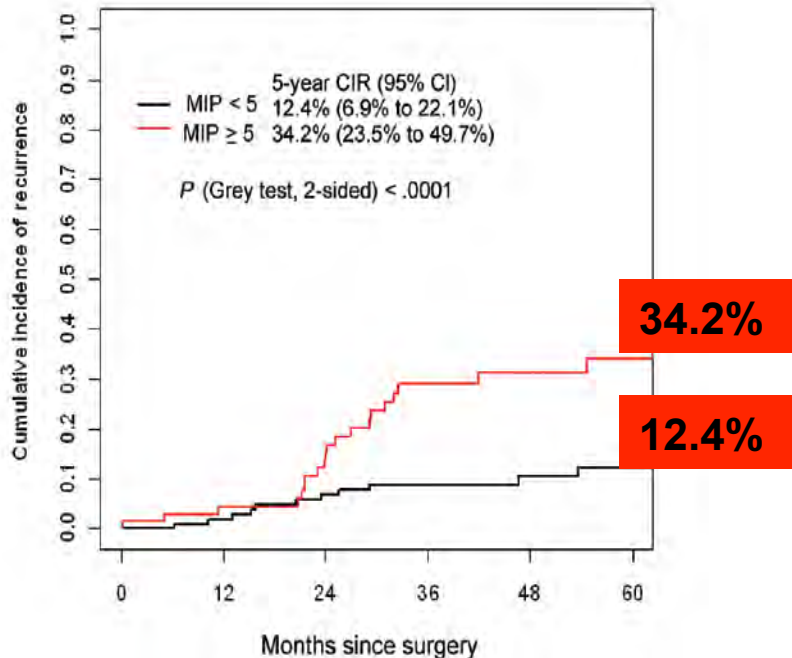


Impact of Micropapillary Histologic Subtype in Selecting Limited Resection vs Lobectomy for Lung Adenocarcinoma of 2 cm or Smaller

Jun-ichi Nitadori, Adam J. Bograd, Kyuichi Kadota, Camelia S. Sima, Nabil P. Rizk, Eduardo A. Morales, Valerie W. Rusch, William D. Travis, Prasad S. Adusumilli

Limited Resection : MIP $\geq 5\%$

A



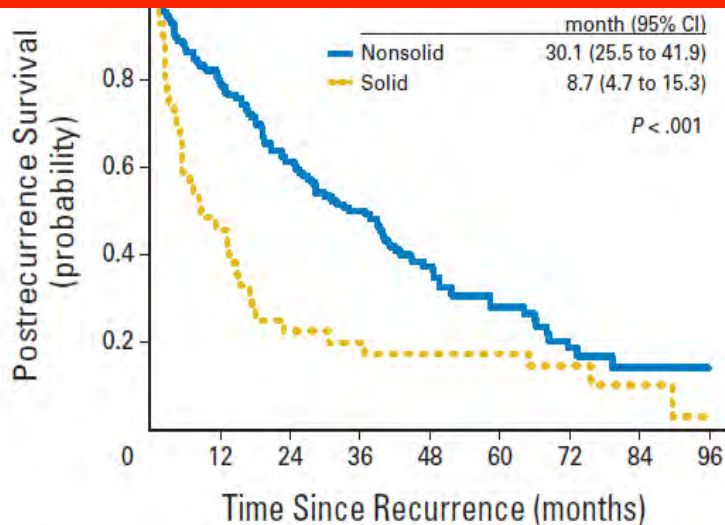
No. at risk at each time point	[1.]	108	96	84	68	42	30
	[2.]	68	61	49	29	23	17

- 734 resected lung Adenoca
- MIP $\geq 5\%$ associated with increased risk of recurrence in limited resection but not lobectomy patients ($p < 0.001$)
- MV Analysis: independent predictor HR 3.11 (CI 1.48-6.54) $p = .003$
- In MIP $\geq 5\%$ tumors local recurrence strongly associated with surgical margin < 1 cm.
- Suggests LR may not be appropriate for lung ADC with any MIP

Solid Predominant Histologic Subtype in Resected Stage I Lung Adenocarcinoma Is an Independent Predictor of Early, Extrathoracic, Multisite Recurrence and of Poor Postrecurrence Survival

Hideki Ujiie, Kyuichi Kadota, Jamie E. Chافت, Daniel Buitrago, Camelia S. Sima, Ming-Ching Lee, James Huang, William D. Travis, Nabil P. Rizk, Charles M. Rudin, David R. Jones, and Prasad S. Adusumilli

Postrecurrence survival: solid vs nonsolid



No. at risk	0	12	24	36	48	60	72	84	96
Nonsolid	148	110	75	60	33	20	9	6	5
Solid	40	17	11	9	9	8	3	2	1

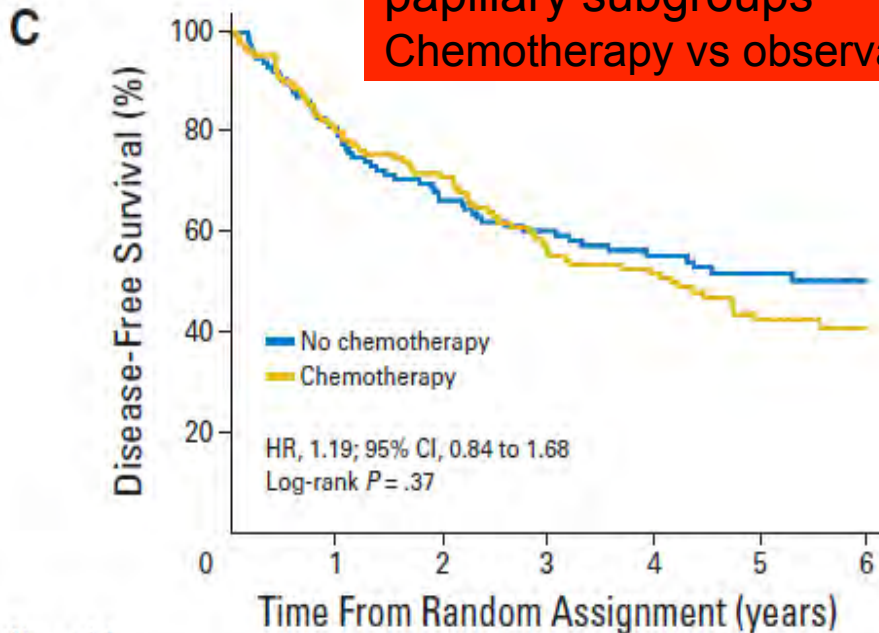
- 1120 Stage 1 ADC; 188 recurrences
- Solid predominant subtype is correlated with earlier ($p=.007$) distant (extrathoracic) metastasis ($p=.001$) and multiple-site recurrence ($p=.011$) in pts with primary lung adenoca
- Risk of recurrence peaked within 12 months; most occurred within 2 yrs
- MV analysis: independent predictor of post recurrence survival:
 - High-grade SOL vs low or intermediate grade HR 1.76 (CI:1.11-2.77) $p=0.016$
 - Data provides rationale for investigating adjuvant therapy

Subtype Classification of Lung Adenocarcinoma Predicts Benefit From Adjuvant Chemotherapy in Patients Undergoing Complete Resection

Ming-Sound Tsao, Sophie Marguet, Gwénaél Le Teuff, Sylvie Lantuejoul, Frances A. Shepherd, Lesley Seymour, Robert Kratzke, Stephen L. Graziano, Helmut H. Popper, Rafael Rosell, Jean-Yves Douillard, Thierry Le-Chevalier, Jean-Pierre Pignon, Jean-Charles Soria, and Elisabeth M. Brambilla

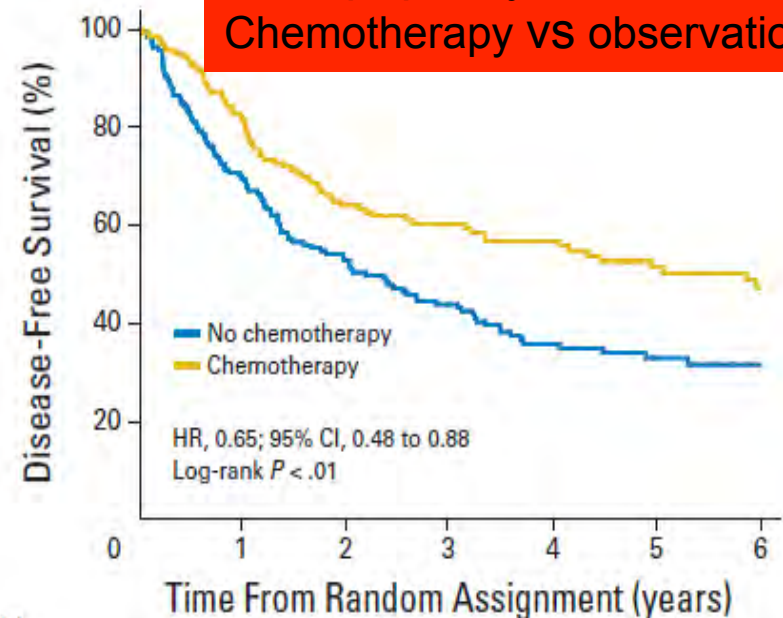
- 575 Resected Adenoca from LACE-Bio study

Disease free survival: Acinar/
papillary subgroups
Chemotherapy vs observation



No. at risk	0	1	2	3	4	5	6
No chemotherapy	116	94	77	64	50	40	23
Chemotherapy	131	105	92	69	57	36	22

Disease free survival:
Micropapillary/solid subgroups
Chemotherapy vs observation



No. at risk	0	1	2	3	4	5	6
No chemotherapy	164	114	85	62	43	25	17
Chemotherapy	141	113	86	73	56	43	31

Tsao MS, et al.: J Clin Oncol 2015; epub

Subtype Classification of Lung Adenocarcinoma Predicts Benefit From Adjuvant Chemotherapy in Patients Undergoing Complete Resection

Ming-Sound Tsao, Sophie Marguet, Gwénaél Le Teuff, Sylvie Lantuejoul, Frances A. Shepherd, Lesley Seymour, Robert Kratzke, Stephen L. Graziano, Helmut H. Popper, Rafael Rosell, Jean-Yves Douillard, Thierry Le-Chevalier, Jean-Pierre Pignon, Jean-Charles Soria, and Elisabeth M. Brambilla

C

Disease-Free Survival (%)

Solid and micropapillary histologic patterns predict survival benefit from cisplatin based adjuvant chemotherapy in resected lung adenocarcinoma patients

No. at risk								No. at risk							
No chemotherapy	116	94	77	64	50	40	23	No chemotherapy	164	114	85	62	43	25	17
Chemotherapy	131	105	92	69	57	36	22	Chemotherapy	141	113	86	73	56	43	31

Disease free survival: Acinar/
papillary subgroups
Chemotherapy vs observation

Disease free survival:
Micropapillary/solid subgroups
Chemotherapy vs observation

La classification participe au management des patients opérés ?

- Prédit survie et rechute
- Prédit un bénéfice de survie par la chimiothérapie cisplatine adjuvante
- Définit AIS & MIA: 100% et presque 100% de survie si résection complète
- Permet les corrélations radio-pathologiques
- Impacte le Staging TNM
 - Taille de la zone invasive = T du TNM
 - Comparaison des tumeurs multiples = primaires ou métastases intrapulmonaires

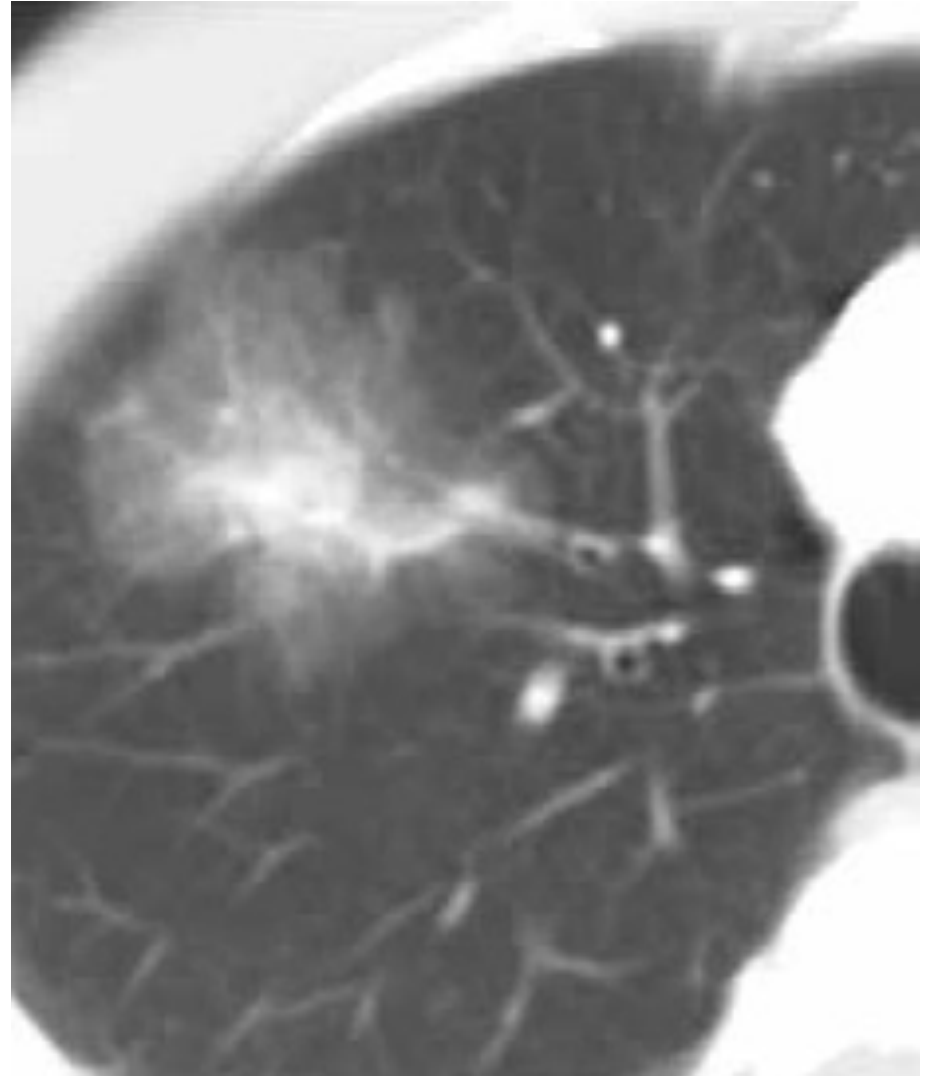
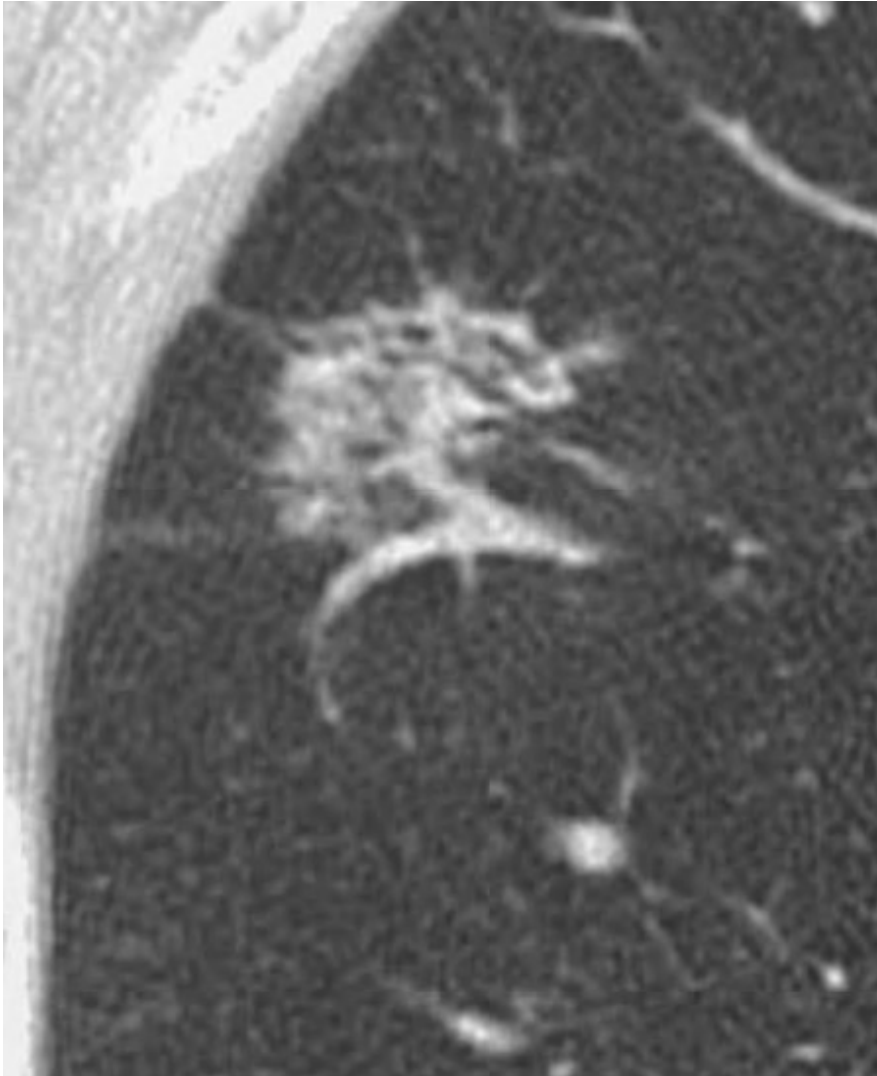
Adenocarcinoma lepidic pattern predominant



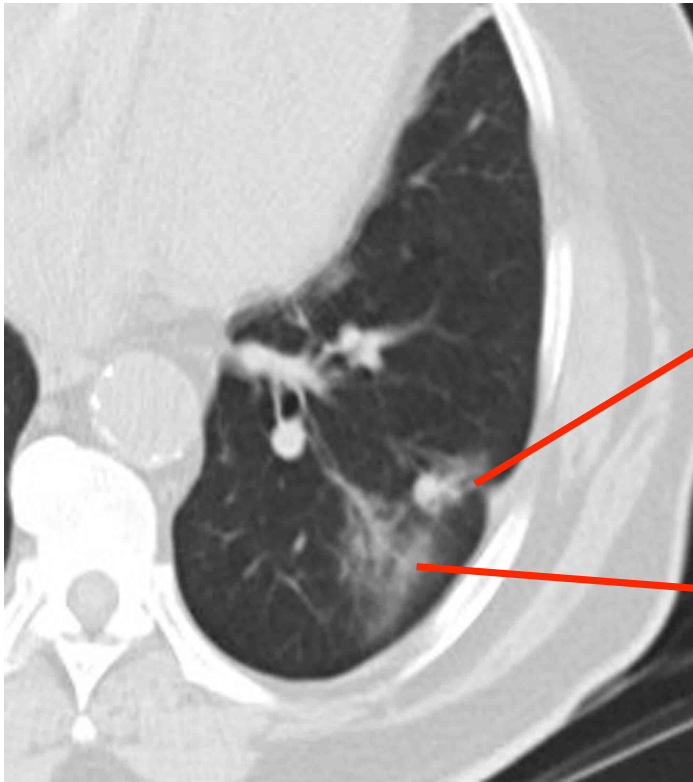
Invasion

- TTF1
- EGF-R or Ras mutation
- Solitary nodules < 3cm
- Stage IA

Adénocarcinome lépidique (prédominant) CT: tumeur semi solide



Corrélations radio pathologiques



SOLIDE / CT

Histologie :

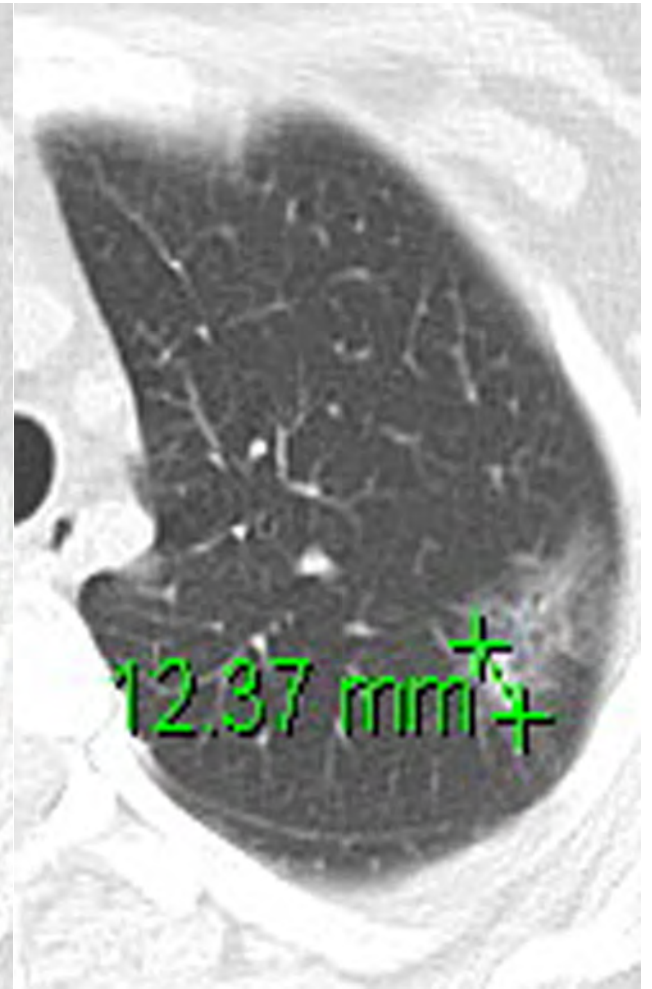
Adénocarcinome
acineux, papillaire,
solide, micropapillaire,
mucineux invasif

VERRE DEPOLI / CT

Histologie:

le plus souvent lésion
non invasive
mais peut être invasive

Case: tumor size in lepidic adca requires rad-path correlation



PART SOLID NODULE

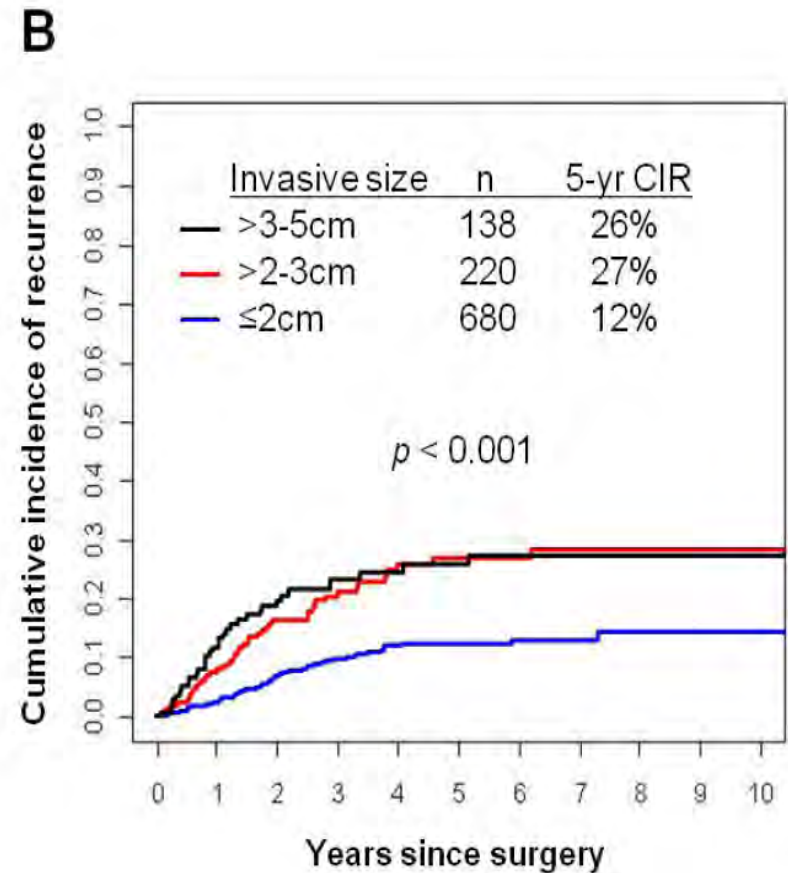
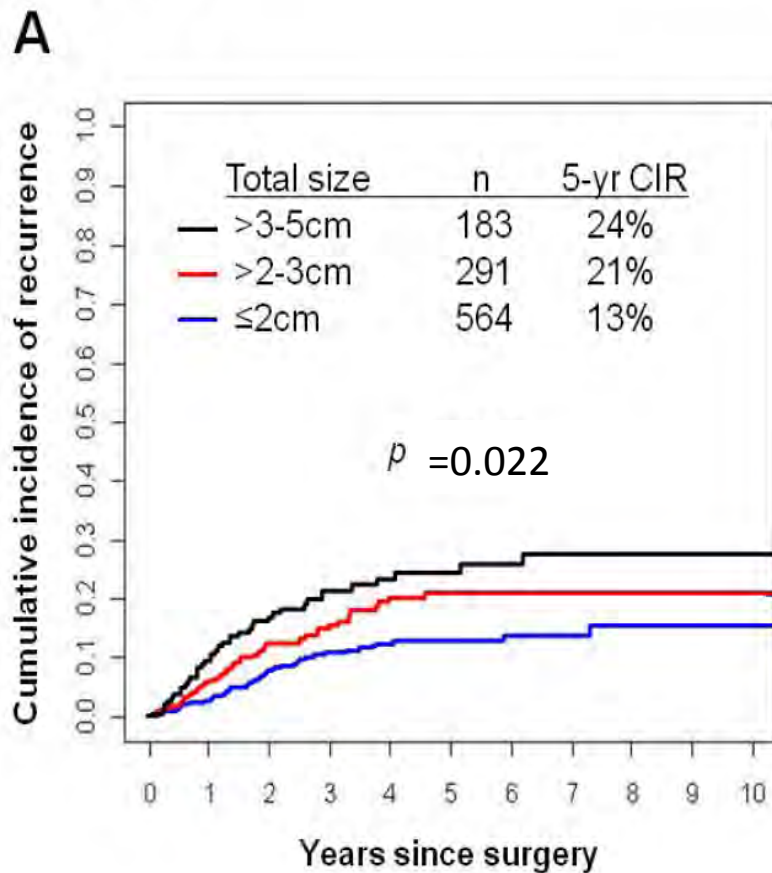
TOTAL SIZE

SOLID COMPONENT

Reclassification du TNM par la révision du T

116 (40%) T1b (>2-3 cm) → T1a (≤2 cm)

45 (25%) T2a (>3-5 cm) → T1b (>2-3 cm)

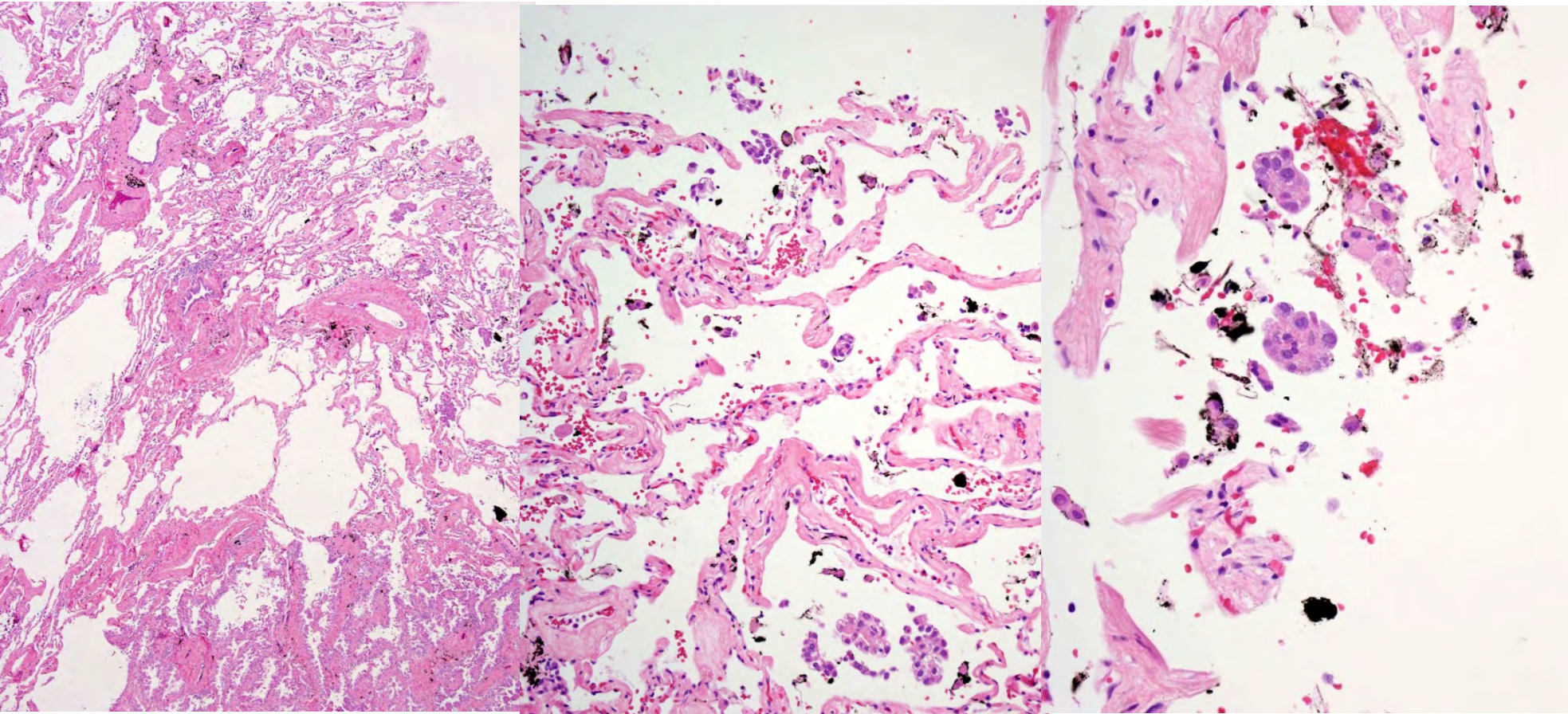


Proposition pour la 8th edition TNM

- **Carcinome *In situ***
 - Tis (AIS)
 - Tis (SCIS)
- **Adénocarcinome à invasion minime**
 - T1a(mi)
 - Si multiples – T1a(mi)(m)
- **Utiliser la taille de l'invasion comme T-descriptor** dans les adénocarcinomes subsolides CT ou les adenoca. non mucineux avec un composant lépidique en pathologie

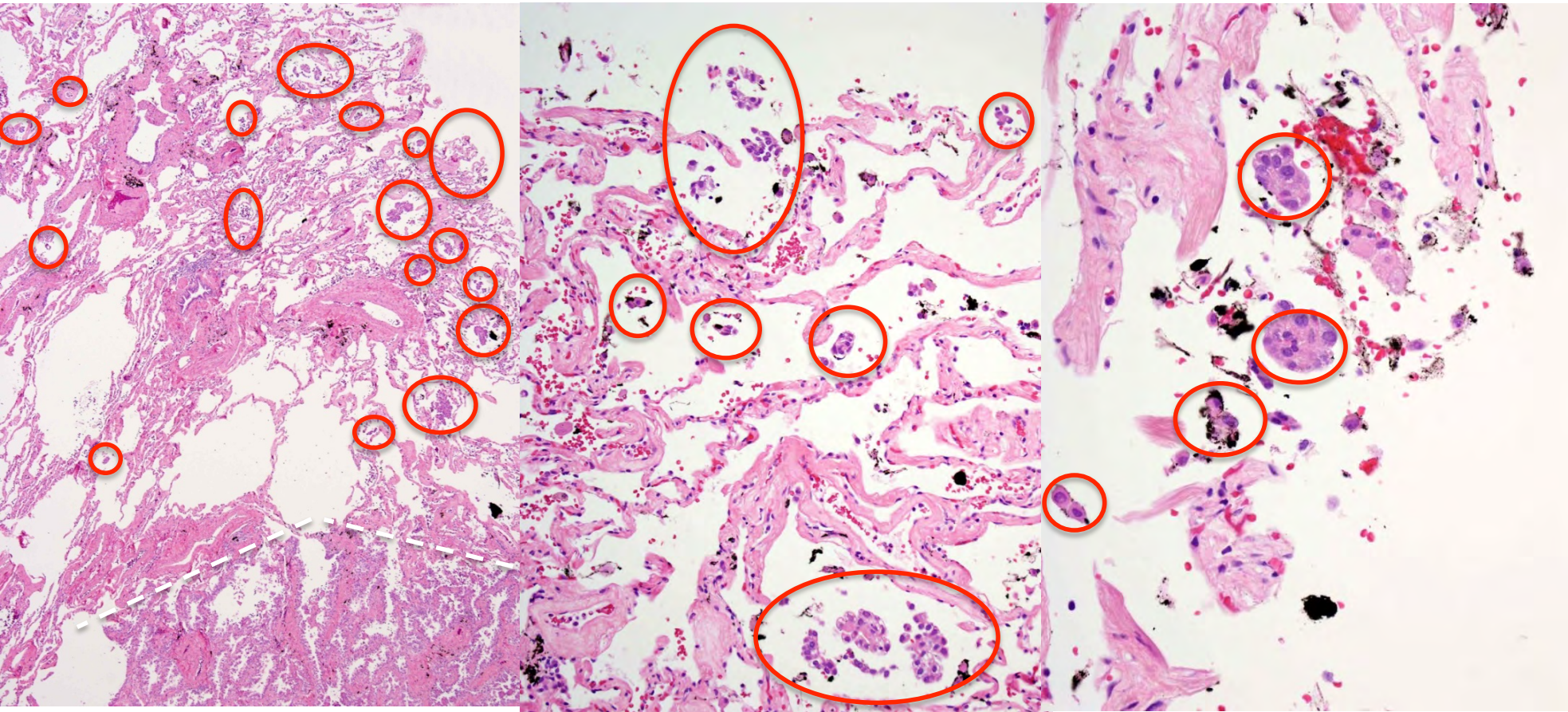
Spread through air spaces (STAS) in inked margin of resection

Extension à l'espace alvéolaire



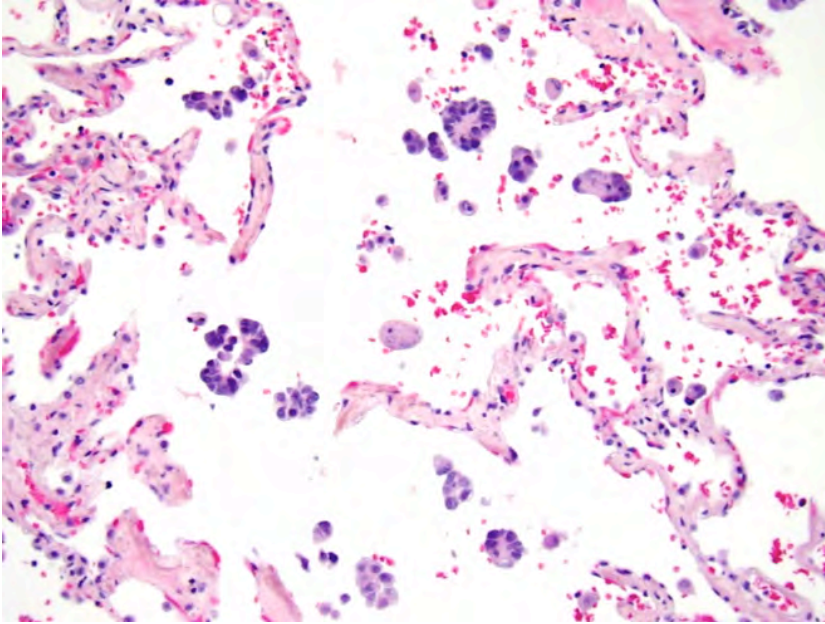
Spread through air spaces (STAS) in inked margin of resection

Extension à l'espace alvéolaire

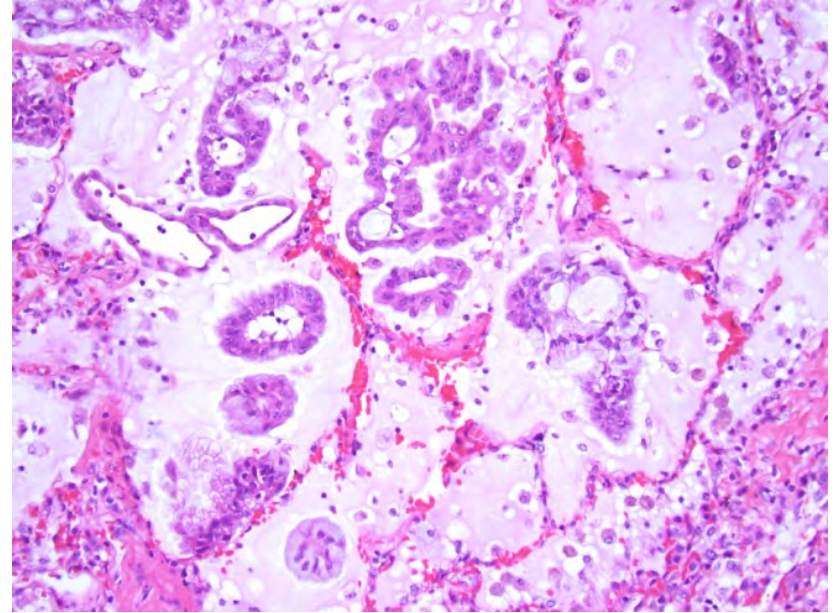


Histologic patterns of STAS in lung ADC

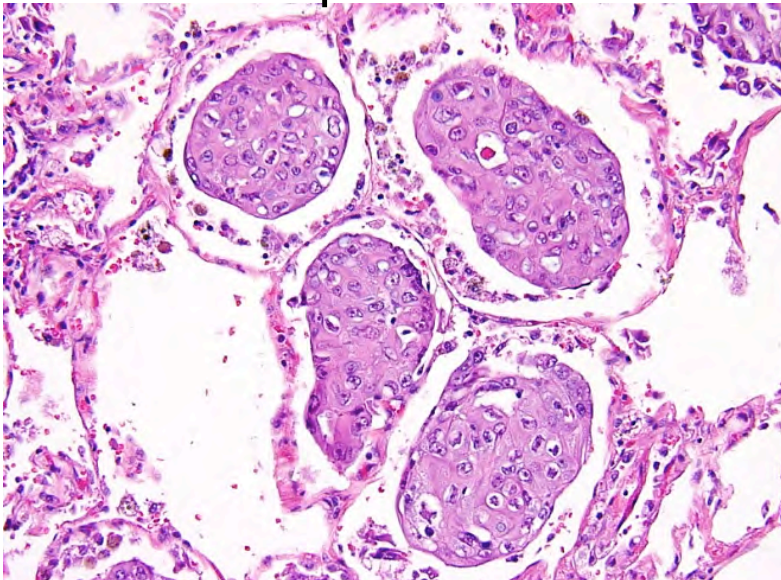
Micropapillary pattern



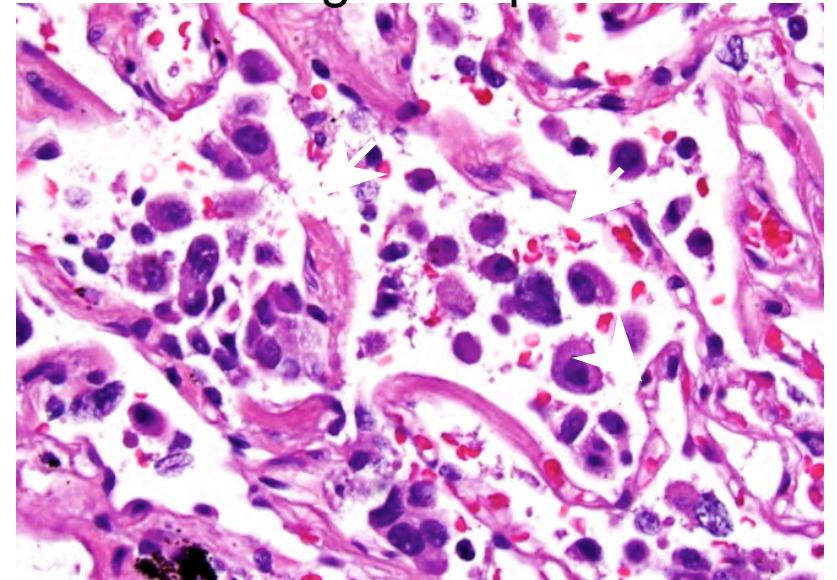
Micropapillary pattern (ring-like)



Solid pattern

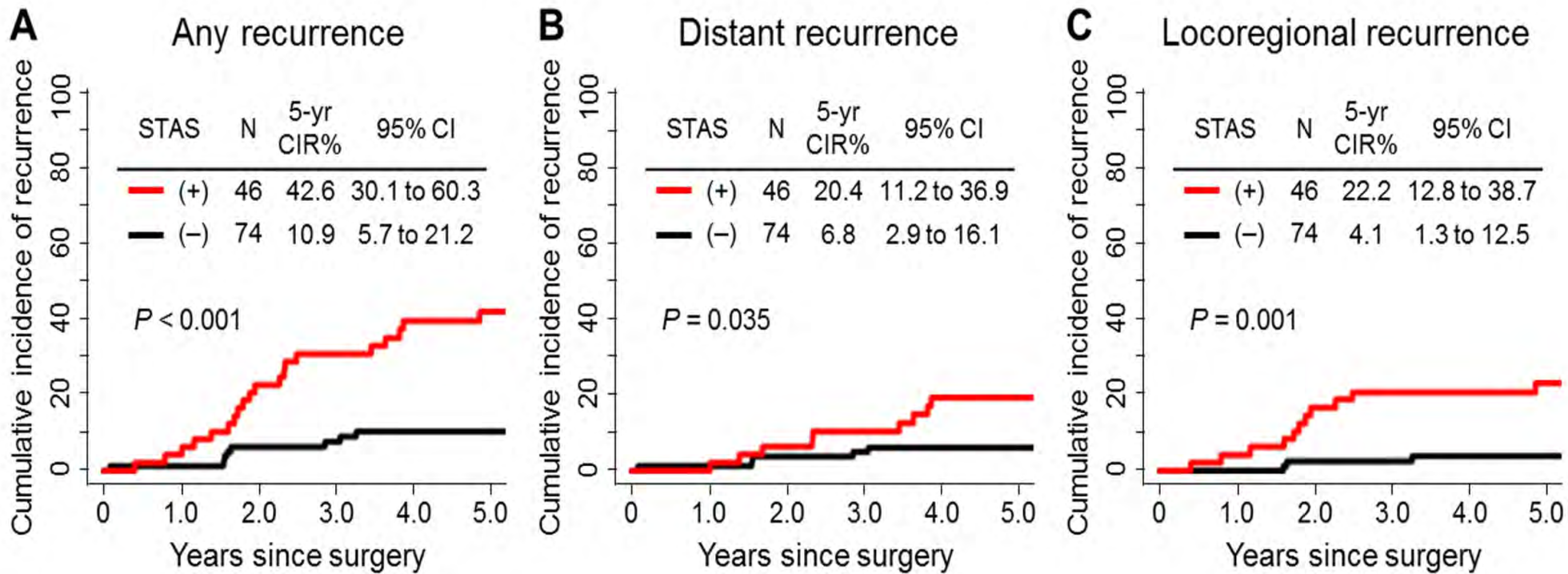


Single cell pattern



STAS – incidence cumulative de rechute après resections limitées

CIR by STAS in the limited resection group



Multivariate analysis, presence of tumor STAS remained independently associated with the risk of recurrence (hazard ratio, 3.08; $P=0.014$).

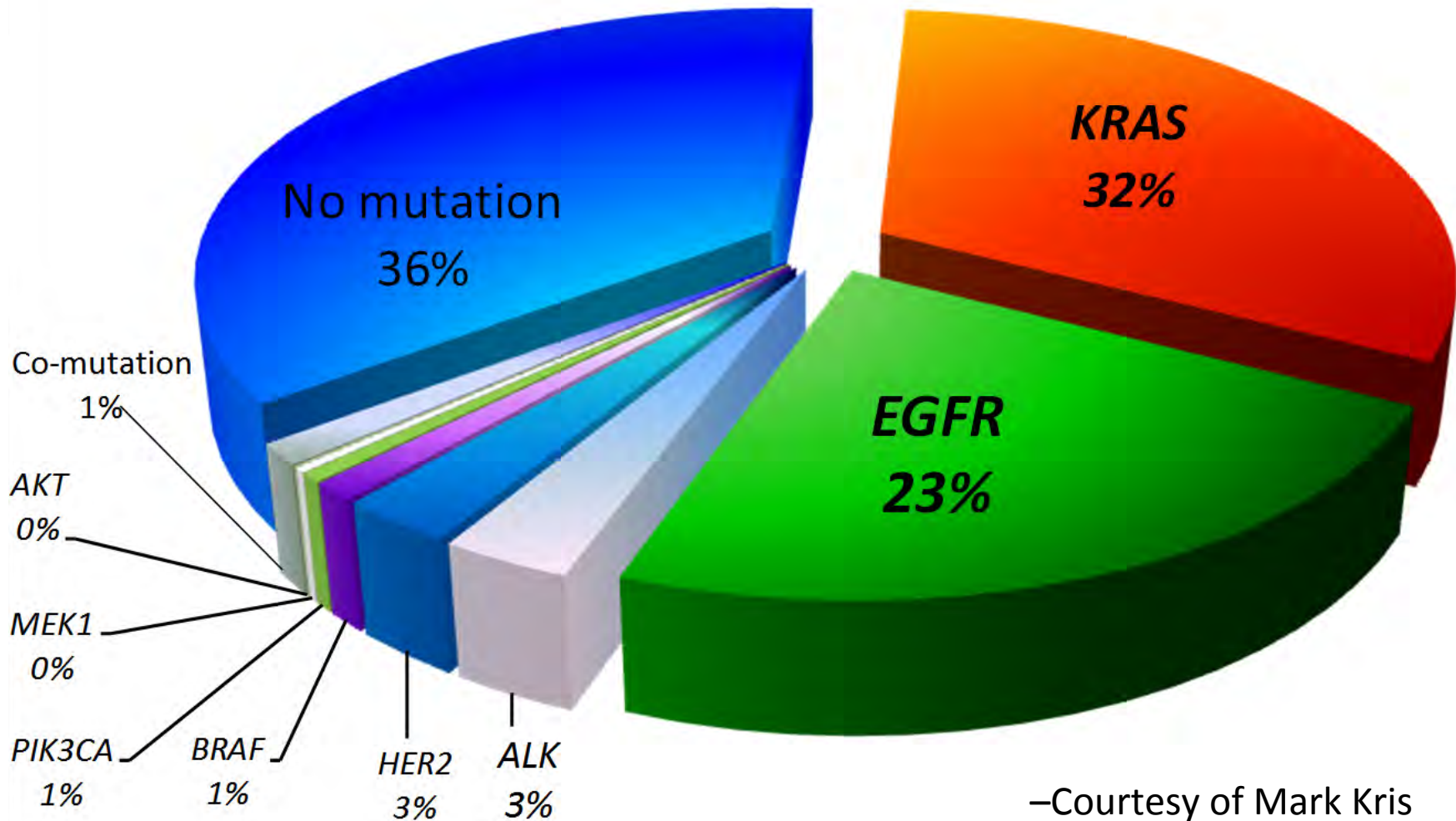
Kadota K et al; JTO 2015; 10:806-14

Spread Through Air Spaces (STAS)

Extension aux espaces alvéolaires

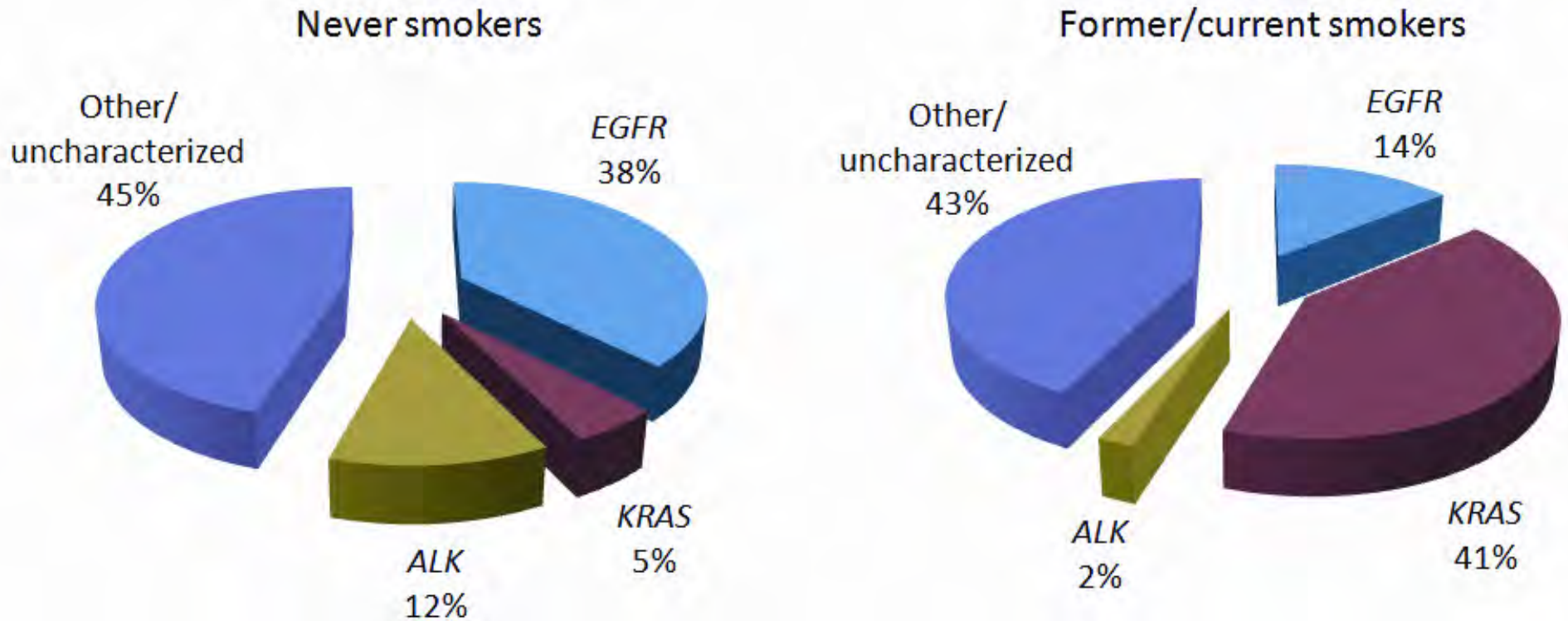
- Une invasion réelle, pas un artéfact
- Devant être incluse dans la définition de l'invasion dans les adénocarcinomes pulmonaires
- Devant être recherchée dans les specimens chirurgicaux de resection limitée (wedge) au niveau des agrafes marginales
- Nous proposons que le STAS ne soit pas inclus dans la taille tumorale ni dans l'évaluation architecturale des sous types histologiques
- Validations:
 - Warth A et al: AJSP 39:793-801, 2015
 - Onozato ML et al: AJSP 37:287-294, 2013
 - Shiono S et al: JTO 10 (Suppl):5284, 2015

Driver Mutations found in 65% of Adenocarcinoma Specimens



—Courtesy of Mark Kris
—JAMA 311:1998-2006, 2014

Molecular Alterations in Never Smokers vs Smokers



W. Pao et al. 2012 Nature Med 2012

WHO World Cancer Report : E.Brambilla,WD Travis; 2013

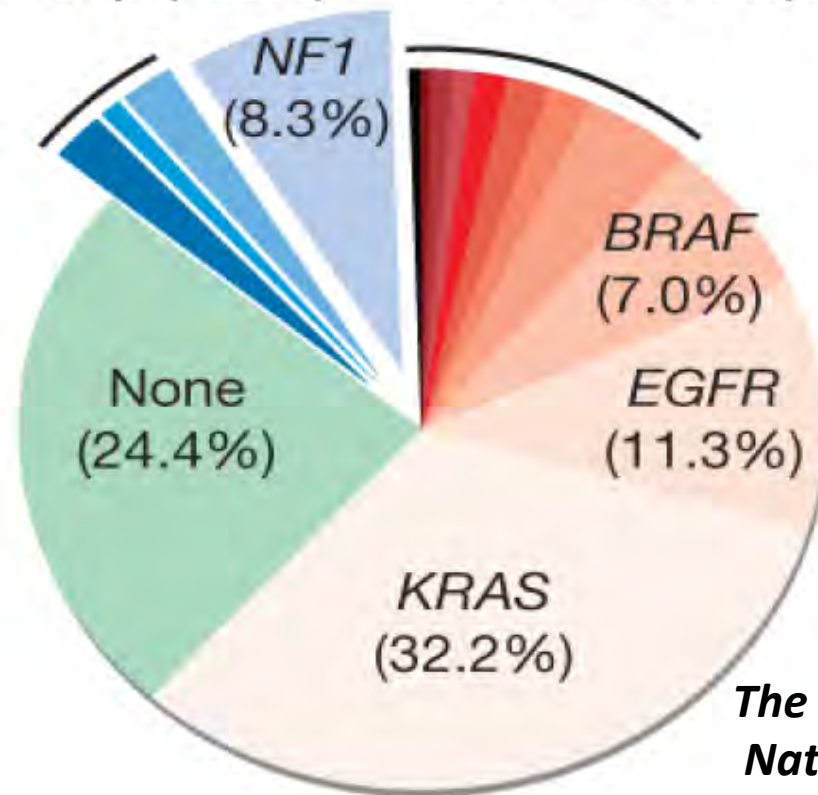
Adenocarcinomes : Nouveaux candidats driver oncogenes activant la voie RTK/RAS/RAF

Nouveaux candidats drivers

- *RIT1* (2.2%)
- *ERBB2* amp (0.9%)
- *MET* amp (2.2%)

- *HRAS* (0.4%)
- *NRAS* (0.4%)
- *RET* fusion (0.9%)
- *MAP2K1* (0.9%)
- *ALK* fusion (1.3%)
- *ROS1* fusion (1.7%)
- *ERBB2* (1.7%)
- *MET* ex14 (4.3%)

Drivers connus



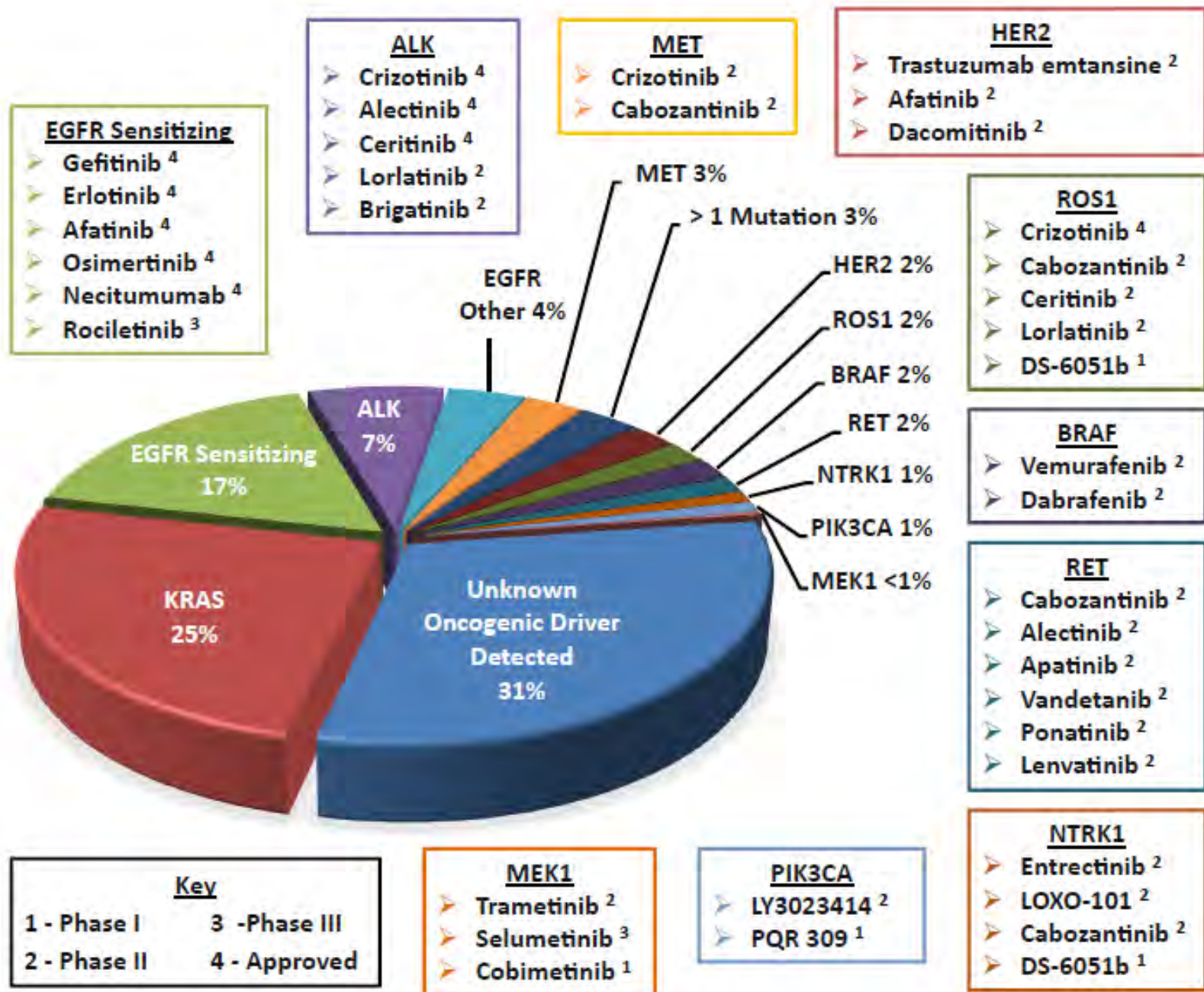
*The Cancer Genome Res. Network
Nature 511; 2014*

Driver mutations are targets for molecular based therapy

Target	Drug
<i>EGFR</i>	Erlotinib Afatinib
<i>ALK</i> fusions	Crizotinib Ceritinib
<i>BRAF</i> V600E	Dabrafenib
<i>ROS1</i> fusions	Crizotinib
<i>RET</i> fusions	Cabozantinib
<i>MET</i> splice site Exon 14 mutations	Cabozantinib (and crizotinib)

Courtesy of Greg Riely

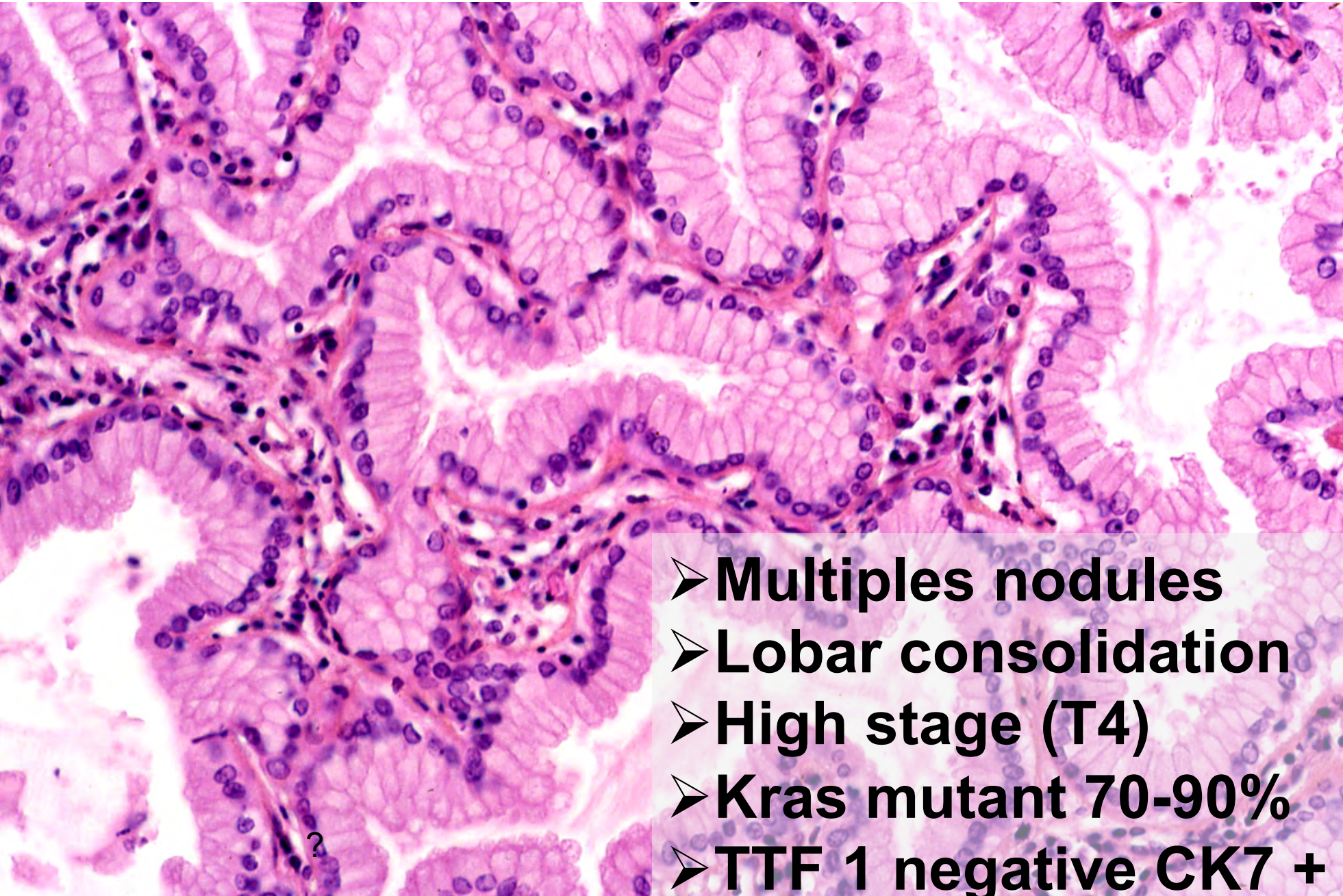
Classification of lung cancer now requires genetic testing



Specific histomolecular correlations

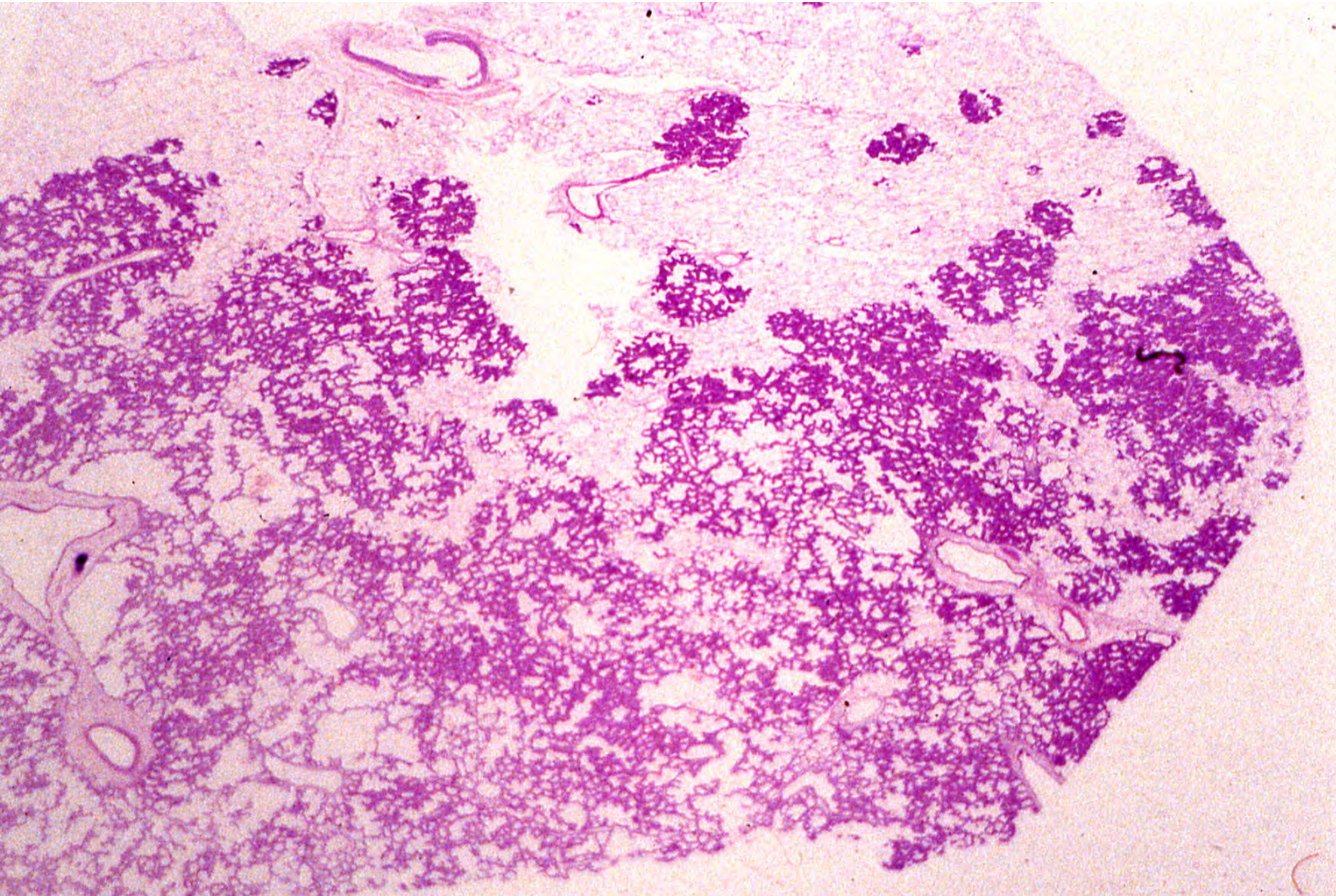
- Any strict correlation between adenocarcinoma subtype/pattern and specific genetic alteration ?
- Only one but strong correlation: invasive mucinous adenocarcinoma (IMA) never have EGFR mutation
- 75% of IMA display a KRAS mutation .
- EGFR mutations , ALK and ROS1 rearrangements are restricted to TTF1 positive cases

Variant : Invasive mucinous adenocarcinoma

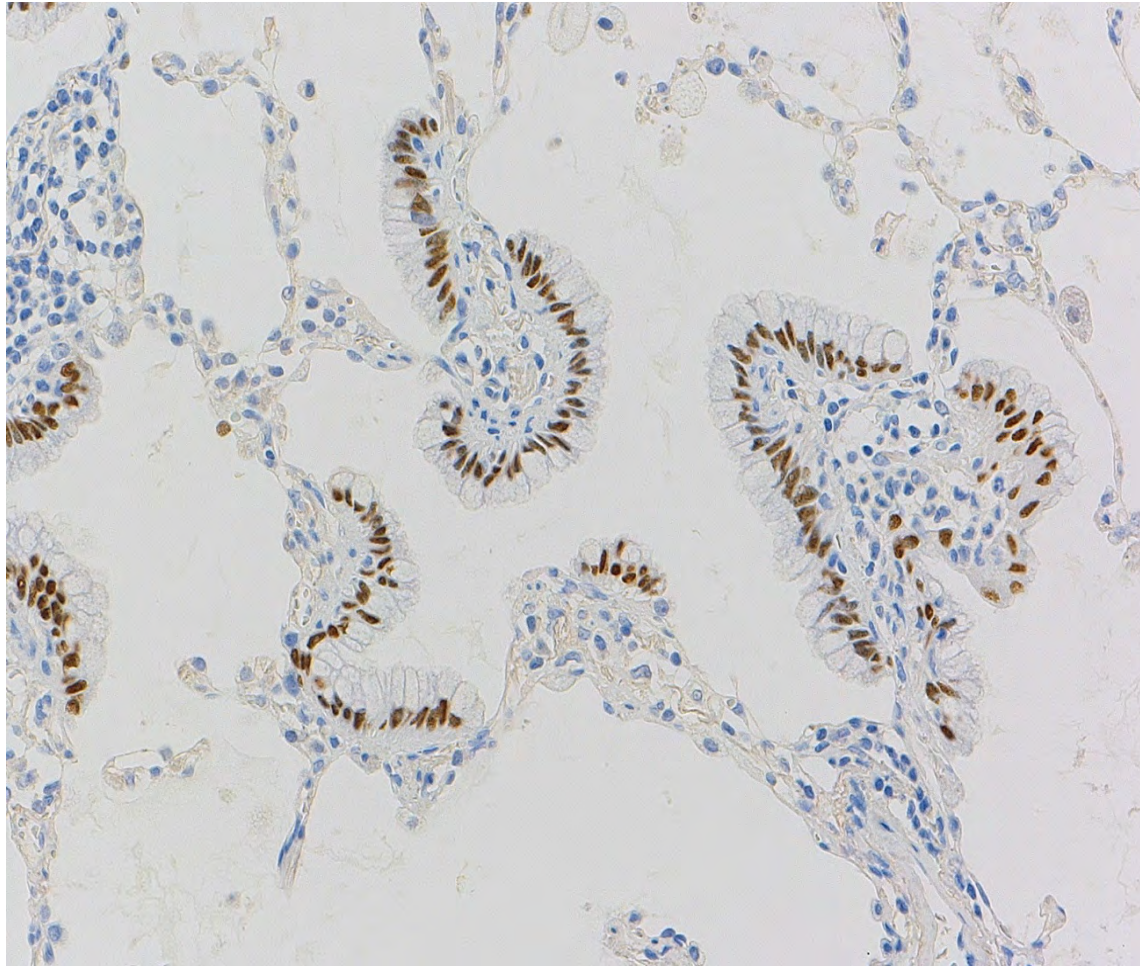


- Multiples nodules
- Lobar consolidation
- High stage (T4)
- Kras mutant 70-90%
- TTF 1 negative CK7 +

Adénocarcinomes invasifs mucineux : pseudo pneumonique

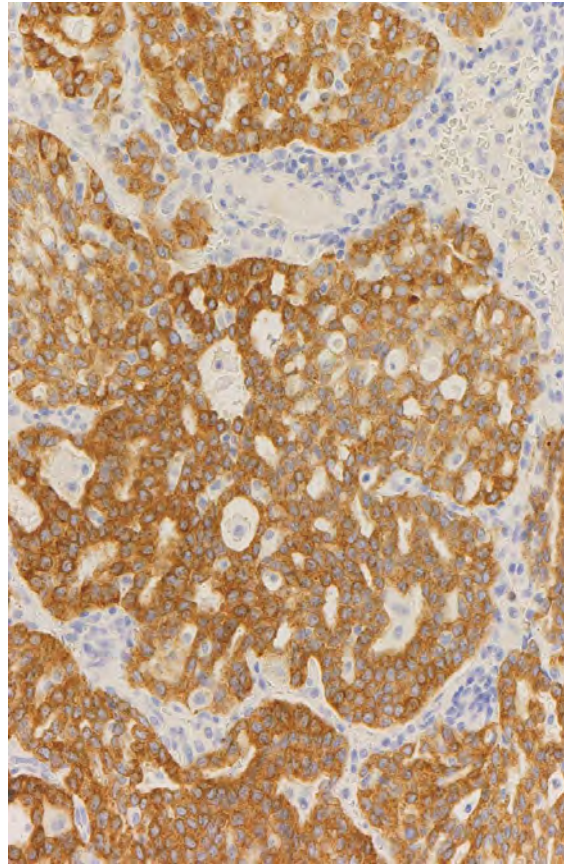
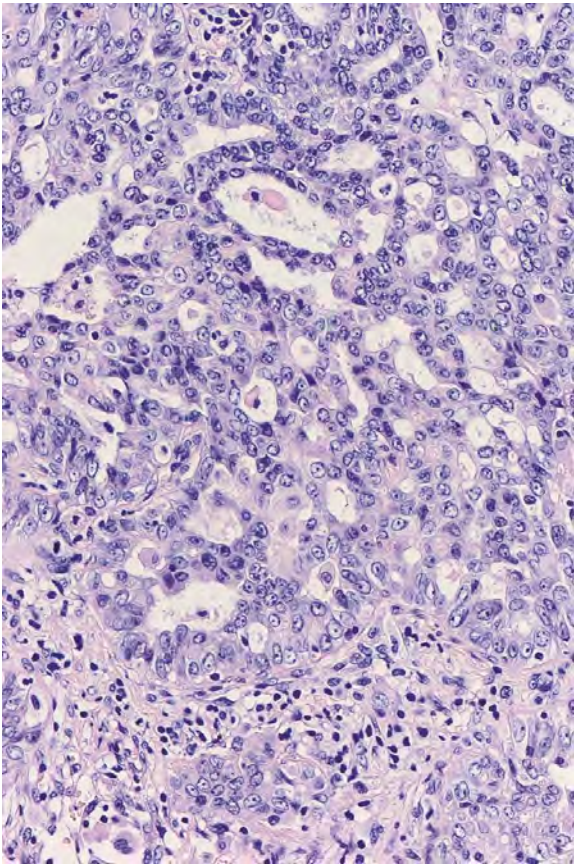


HNF4- α : Un marqueur des Adénocarcinomes invasifs mucineux

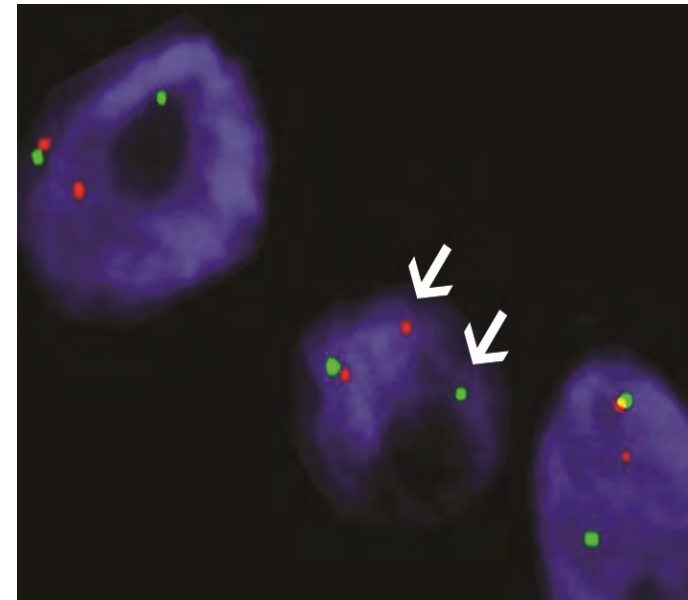


Sugano M et al: Am J Surg Pathol 37:211-8, 2013

Adenocarcinoma: *ALK* Fusion



ALK IHC (D5F3
ou 5A4)



ALK
FISH

OMS 2015 :Carcinomes épidermoïdes

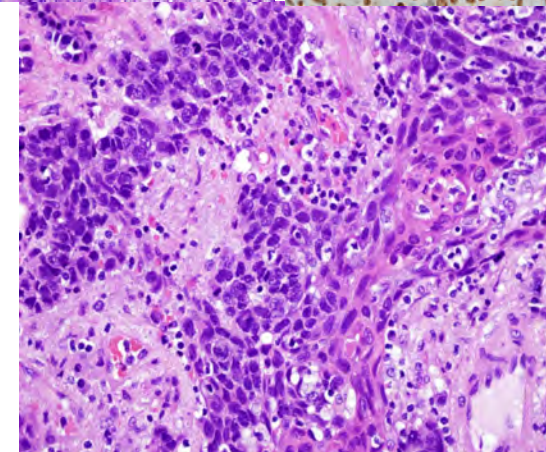
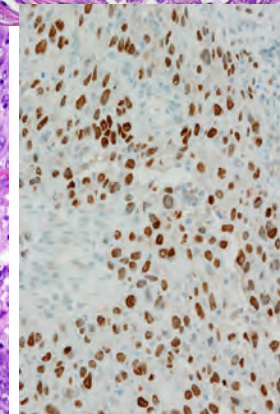
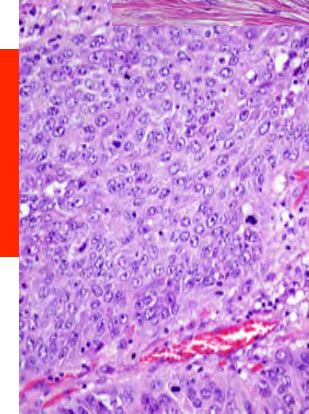
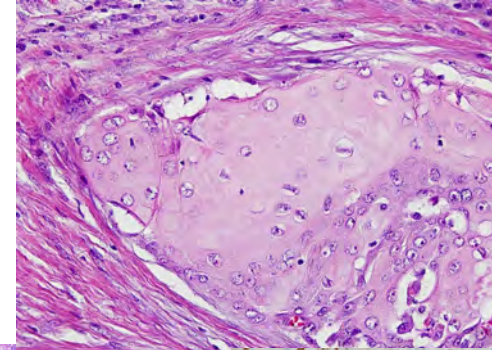
- Keratinisants

- Non-keratinisants

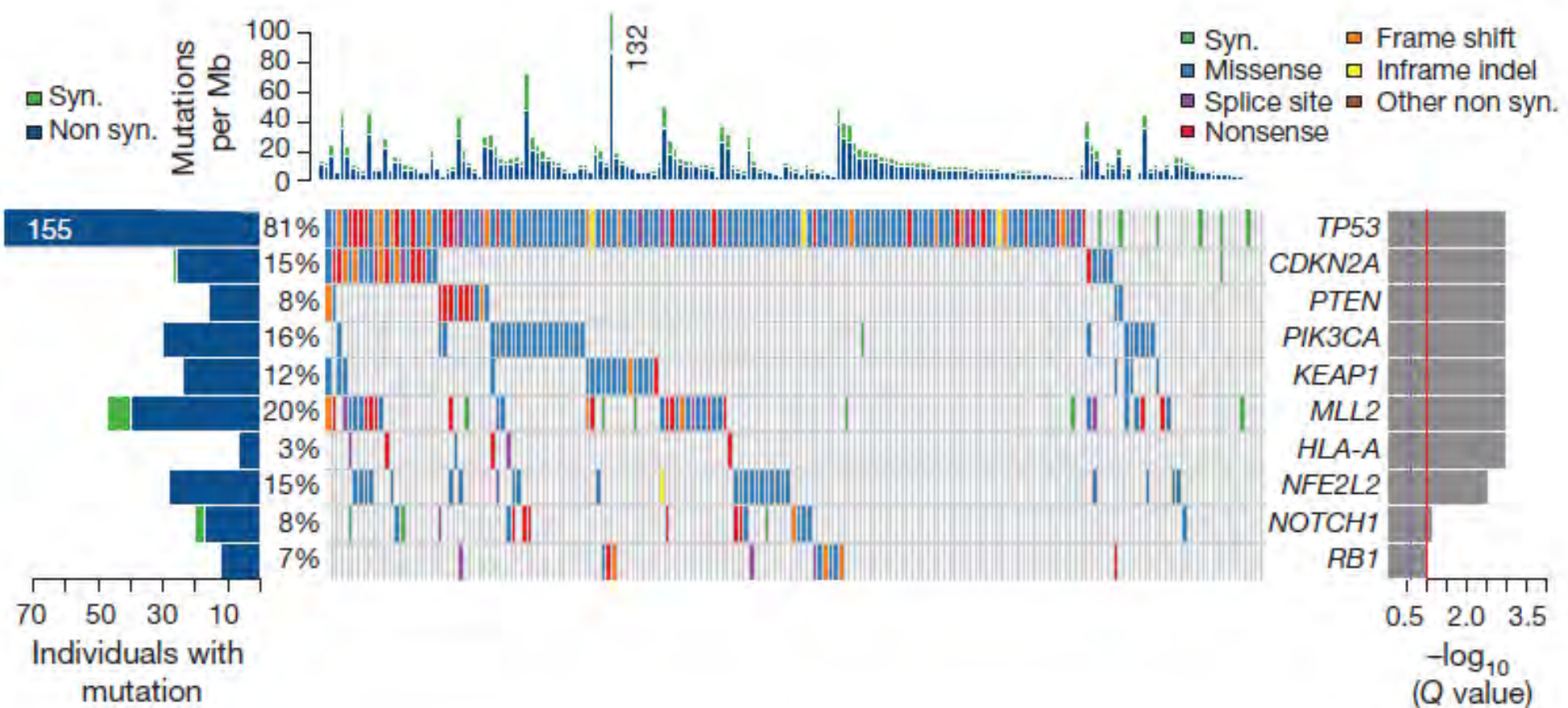
IHC P40positif,
TTF-1 négatif

- Carcinomes basaloïdes

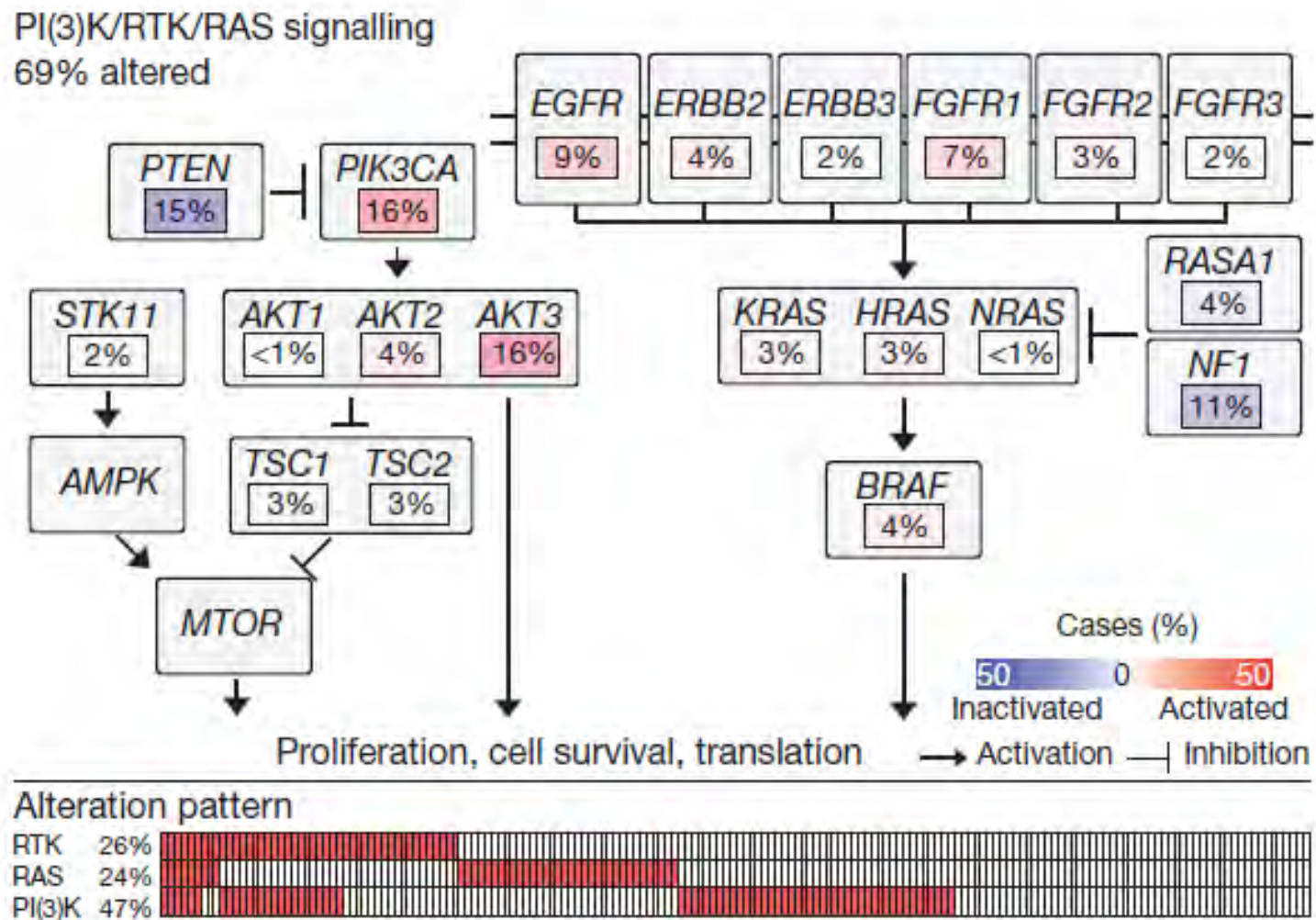
IHC (+p40 , -TTF1 & NE
markers)
r/o LCNEC & SCLC



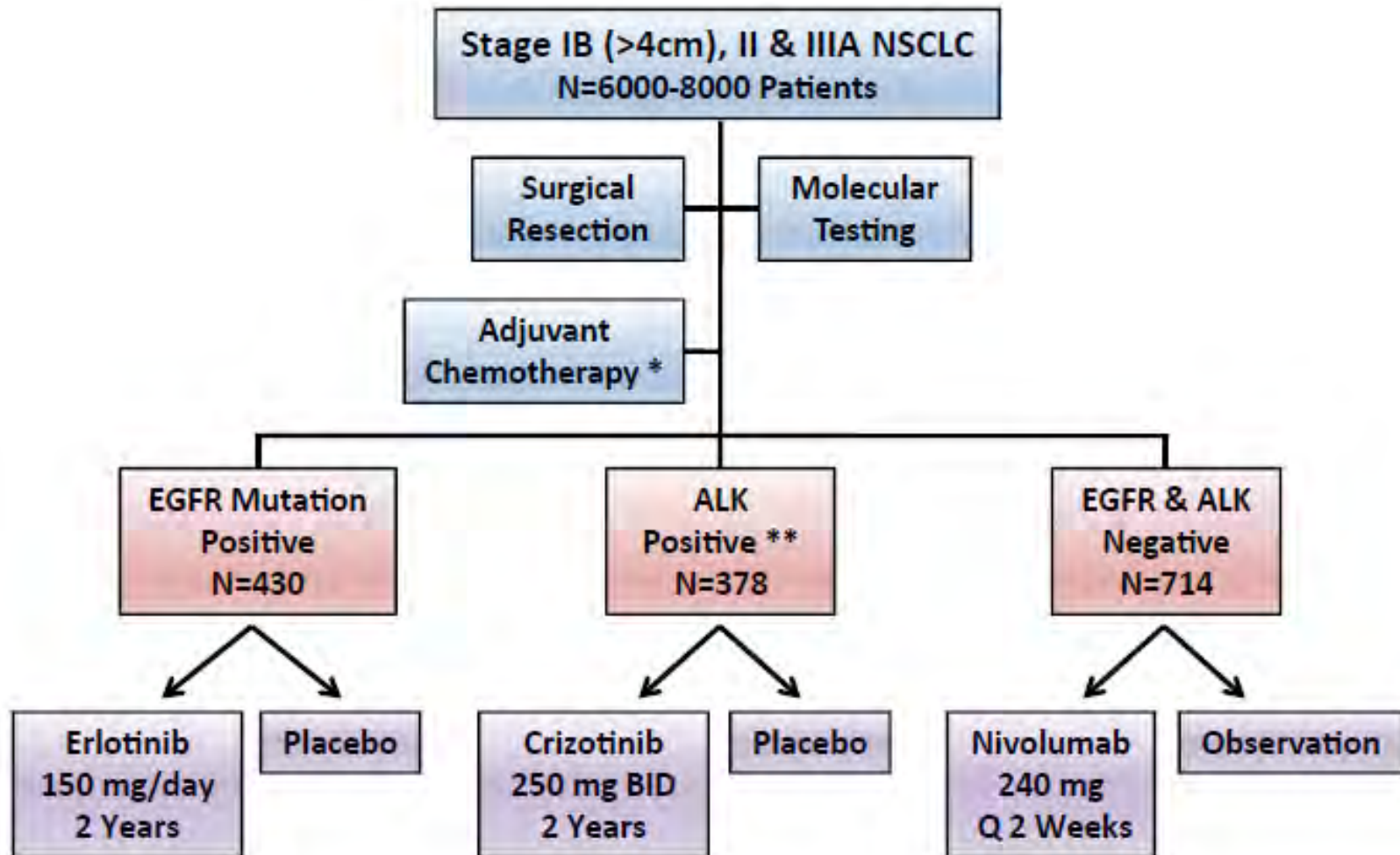
Significant mutated genes in Squamous cell carcinoma



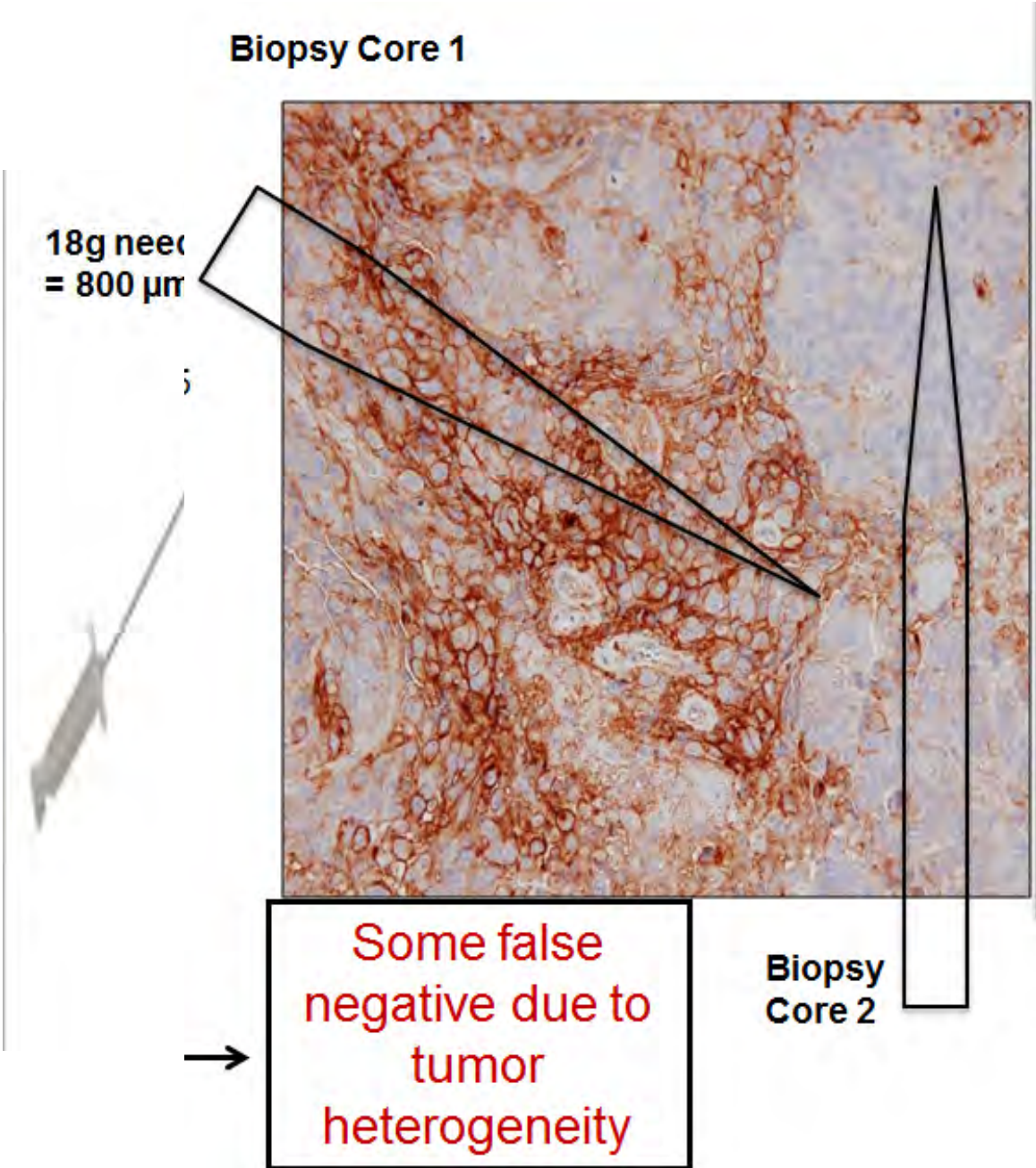
Alterations in targetable oncogenic pathways in 69% of lung SQSC



Today therapeutic algorithm in NSCLC ALCHEMIST study (NCTN, US)



Pitfalls with heterogeneous markers :PDL1

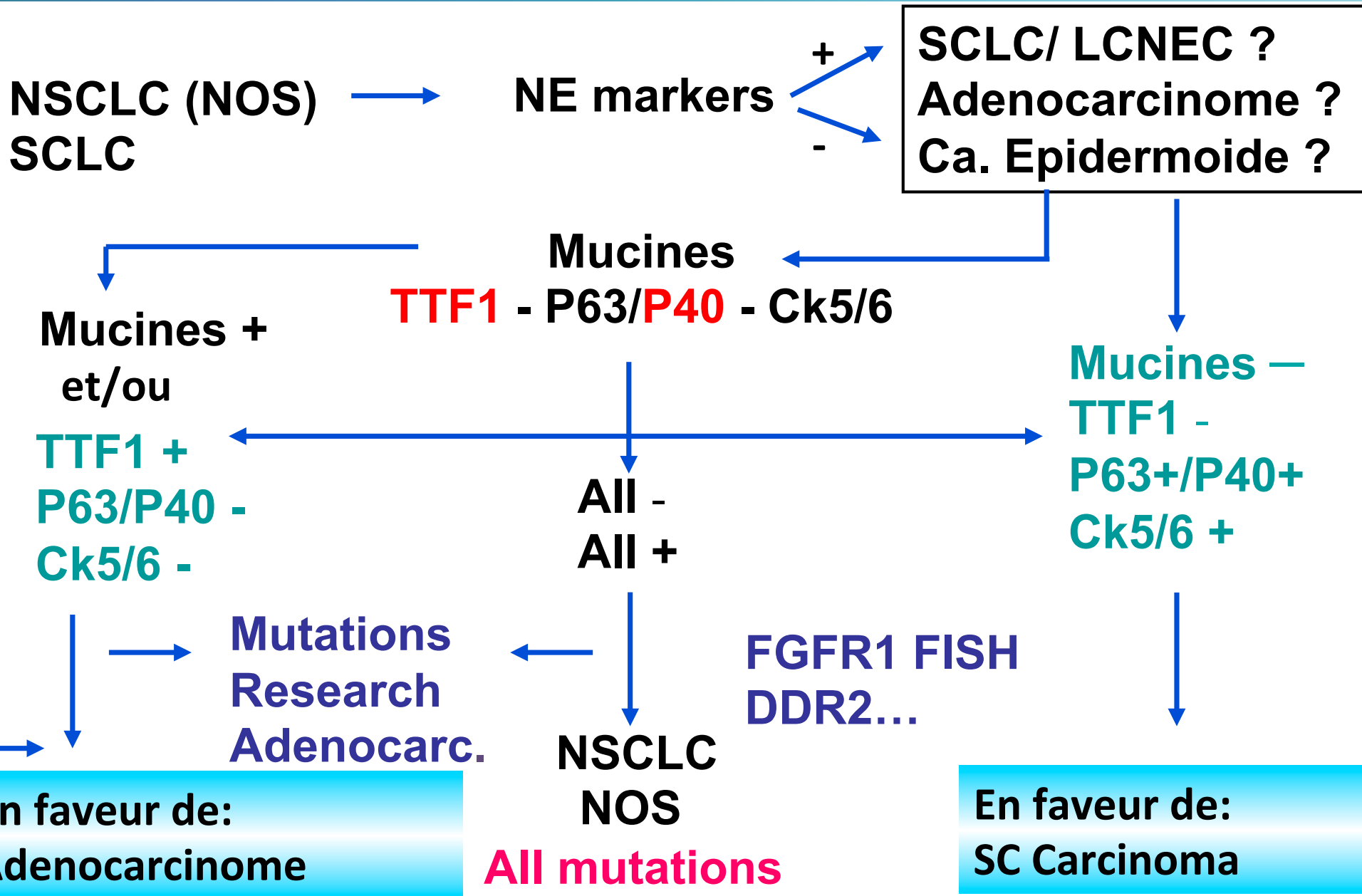


2015 OMS : terminologie pour petites biopsies /cytologie

2015 WHO Resections	Small Biopsy/Cytology
ADENOCARCINOMA Lepidic Acinar Papillary Micropapillary Solid	<i>Morphologic adenocarcinoma patterns clearly present:</i> Adenocarcinoma, describe identifiable patterns present
No 2004 WHO counterpart – most will be solid adenocarcinomas	<i>Morphologic adenocarcinoma patterns not present (supported by special stains; i.e TTF-1 +; p40 -):</i> Non-small cell carcinoma, favor adenocarcinoma
SQUAMOUS CELL CARCINOMA Keratinizing Nonkeratinizing Basaloid	<i>Morphologic squamous cell patterns clearly present:</i> Squamous cell carcinoma
No 2004 WHO counterpart	<i>Morphologic squamous cell patterns not present (supported by stains; i.e. p40+, TTF-1 -):</i> Non-small cell carcinoma, favor squamous cell carcinoma
LARGE CELL CARCINOMA	Non-small cell carcinoma, not otherwise specified (NOS)

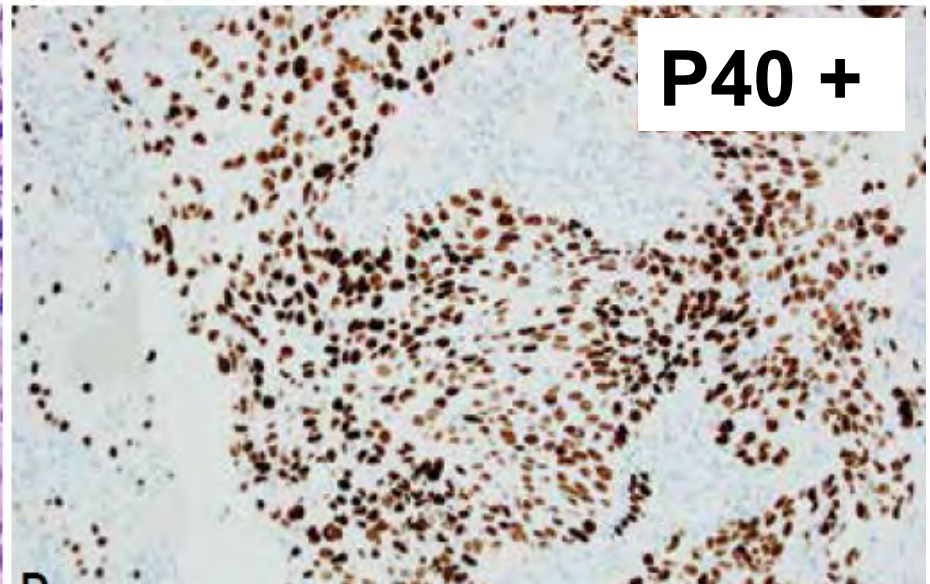
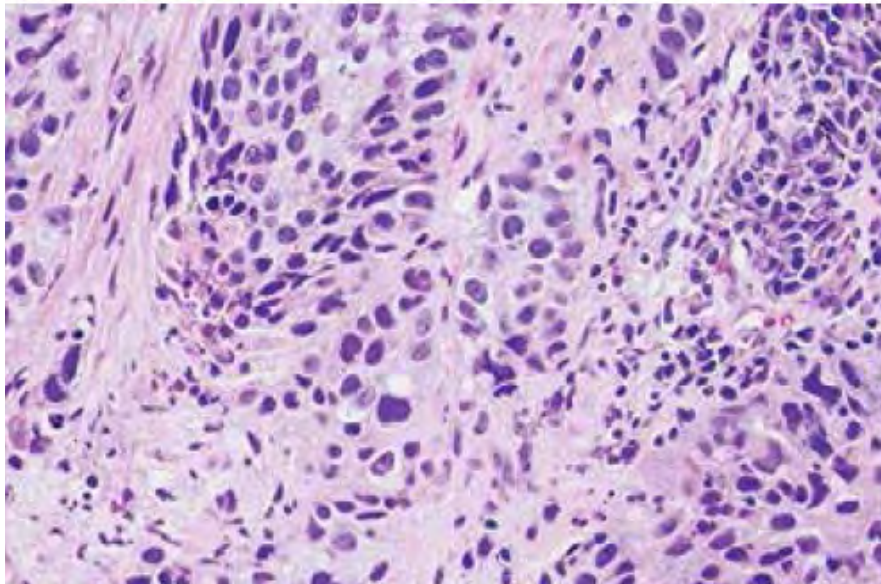
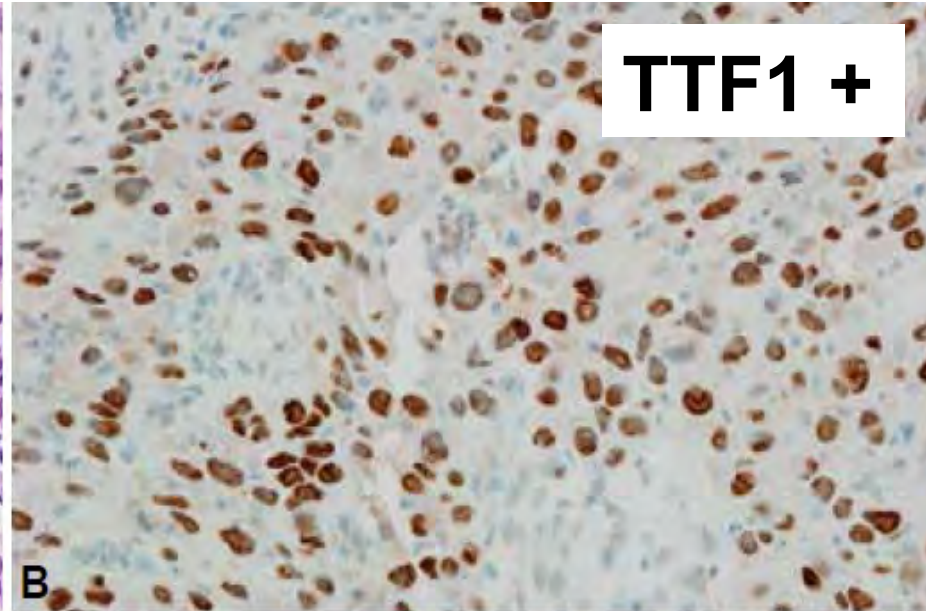
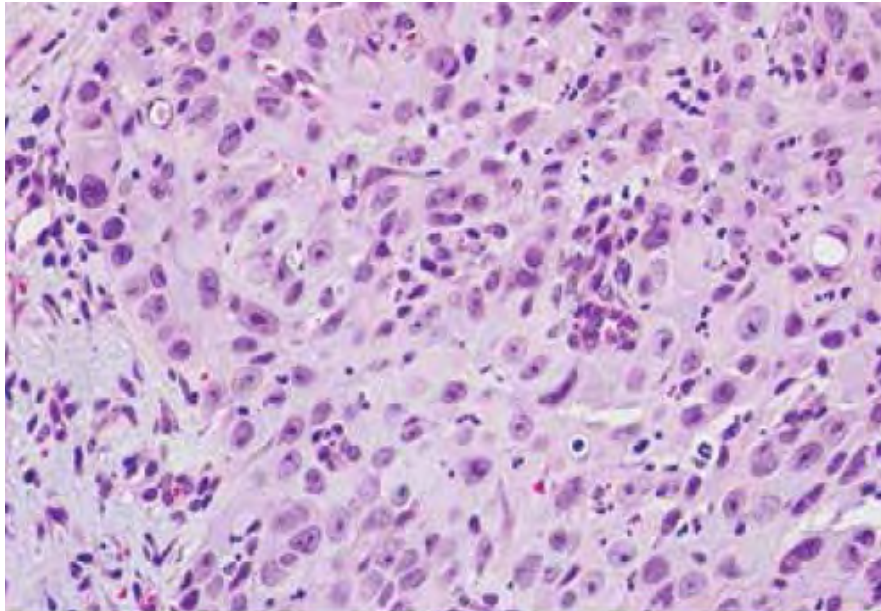
Diagnostic sur petites biopsies (70%)

Minimiser l'usage de NSCLC (NOS)



Carcinomes non à petites cellules: biopsies

Favor Adenocarcinoma

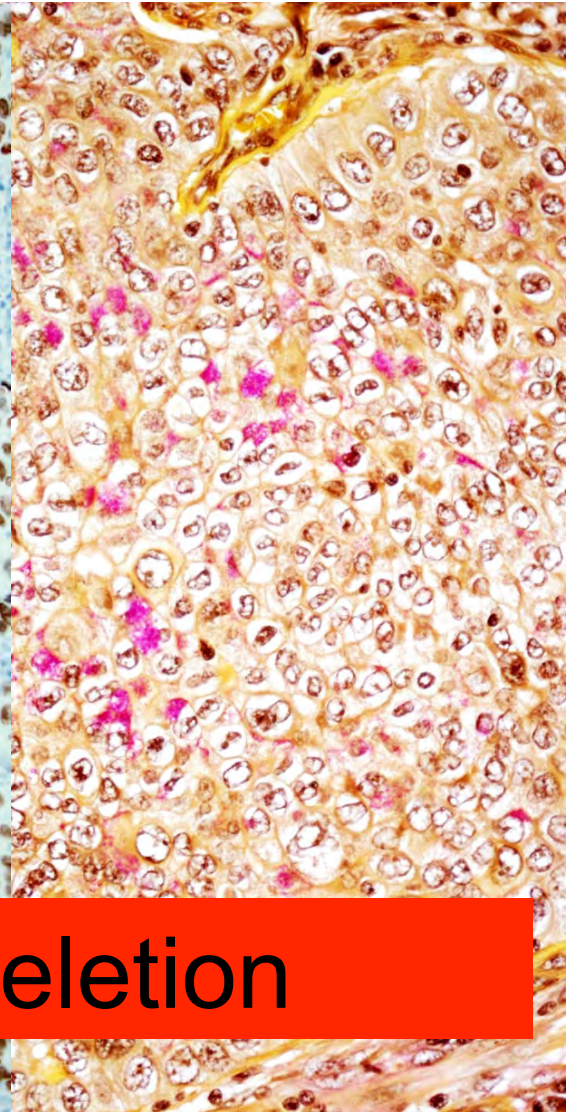
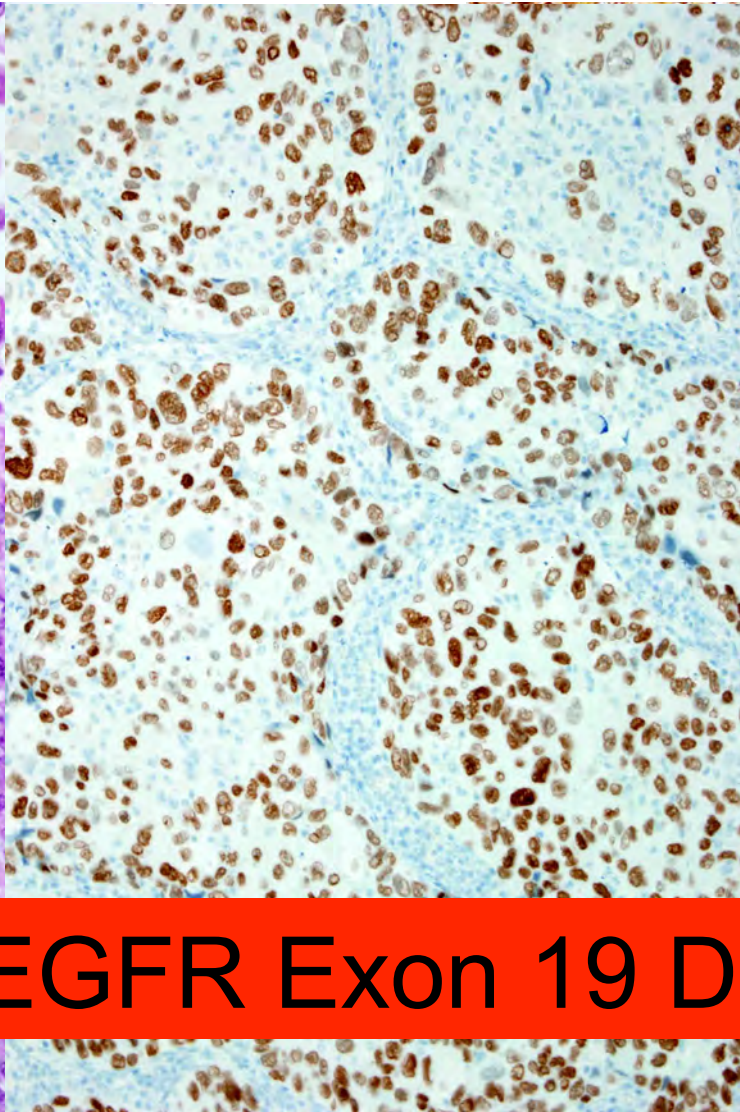
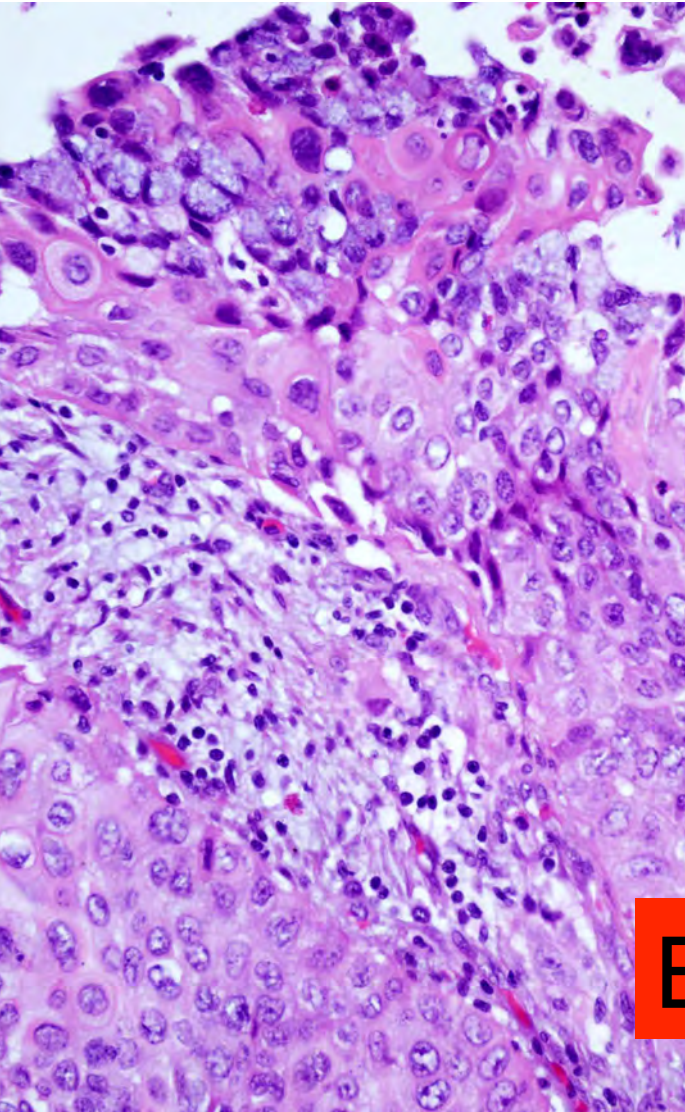


Favor Squamous cell carcinoma

Adénocarcinome solide pseudosquameux

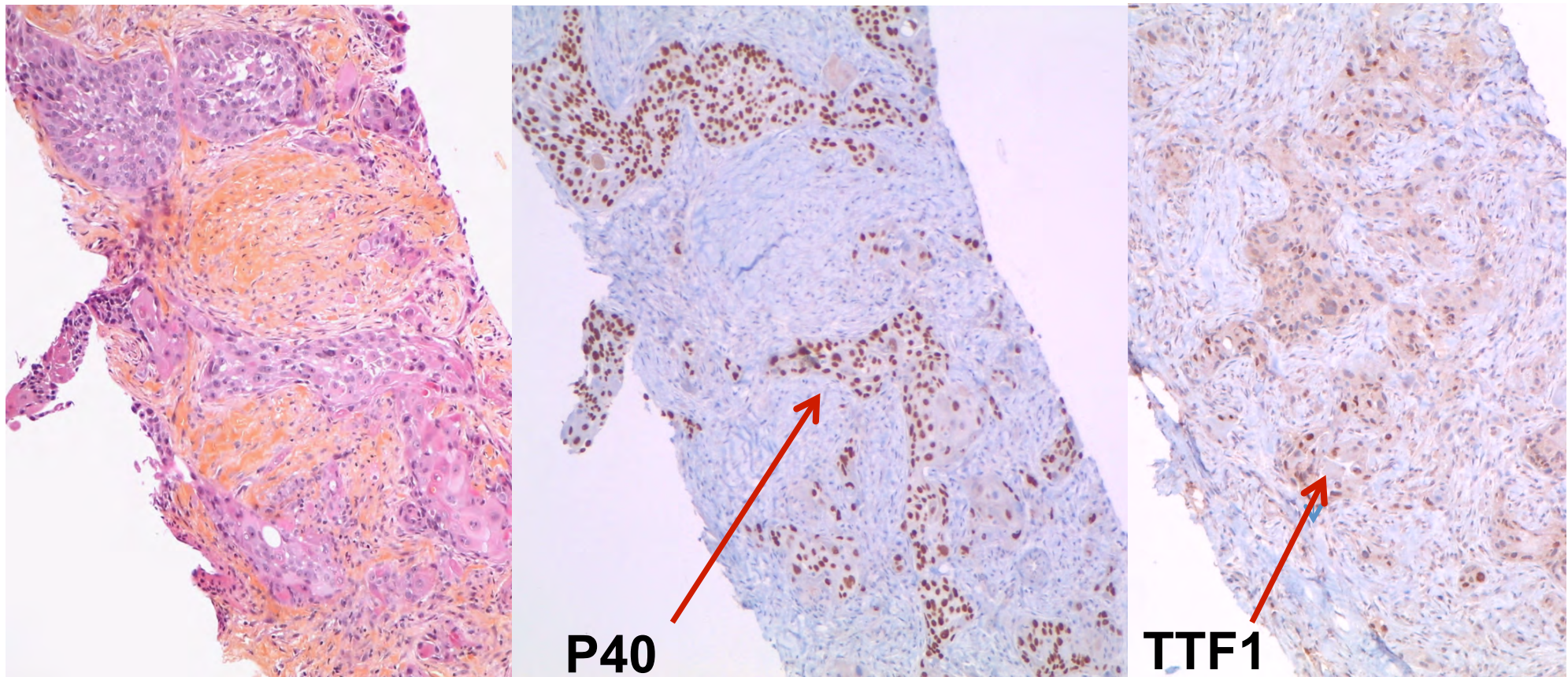
TTF-1

Mucicarmine



EGFR Exon 19 Deletion

Mutant EGFR adenocarcinoma resistant to TKI



Switch (or therapeutic selection) of an adenocarcinoma phenotype → adeno-squamous carcinoma
90 % ADC / 10% SCC on original resected tumor

Microscopie

Précédente
Non-CPC NOS:
20-40%

2015
classification

Carcinome
épidermoïde

20-30%

Non-CPC NOS

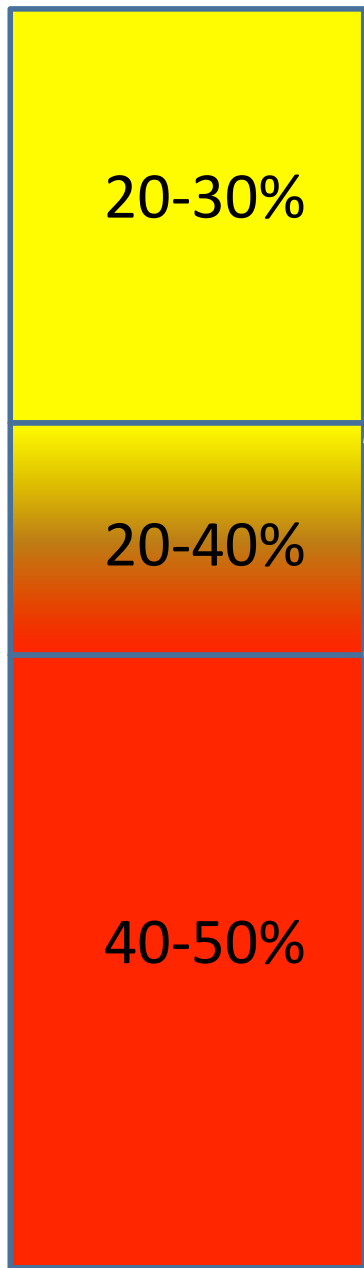
20-40%



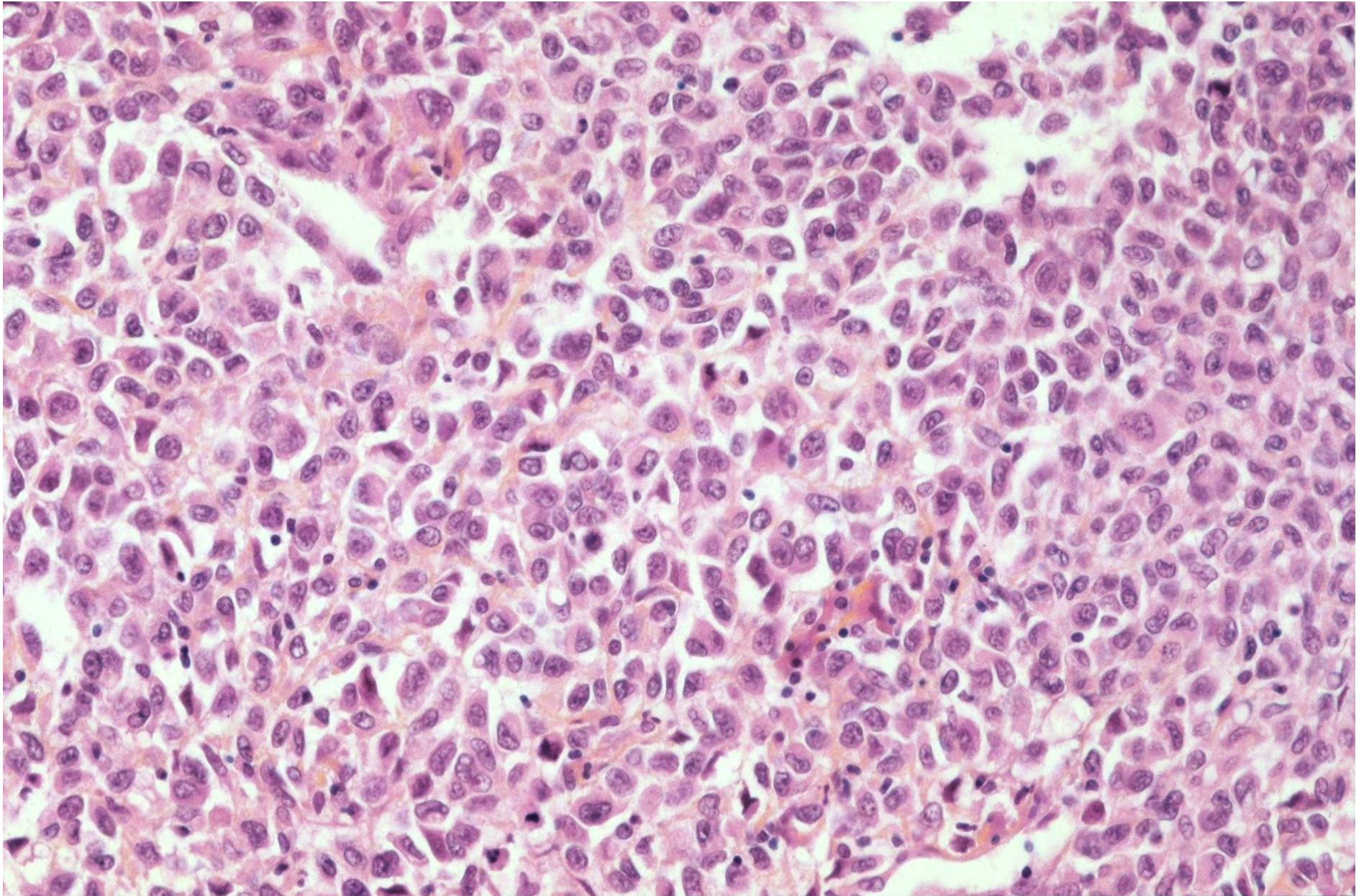
Adénocarcinome

40-50%

Non-CPC NOS
Objectif <5%



Carcinomes à grandes cellules



Subtyping of morphologically undifferentiated non small cell lung carcinoma (former large cell carcinoma)

Adenocarcinoma solid subtype

- Positive for TTF1 or mucin
 - Negative for P40/P63 ,CK5/6
-

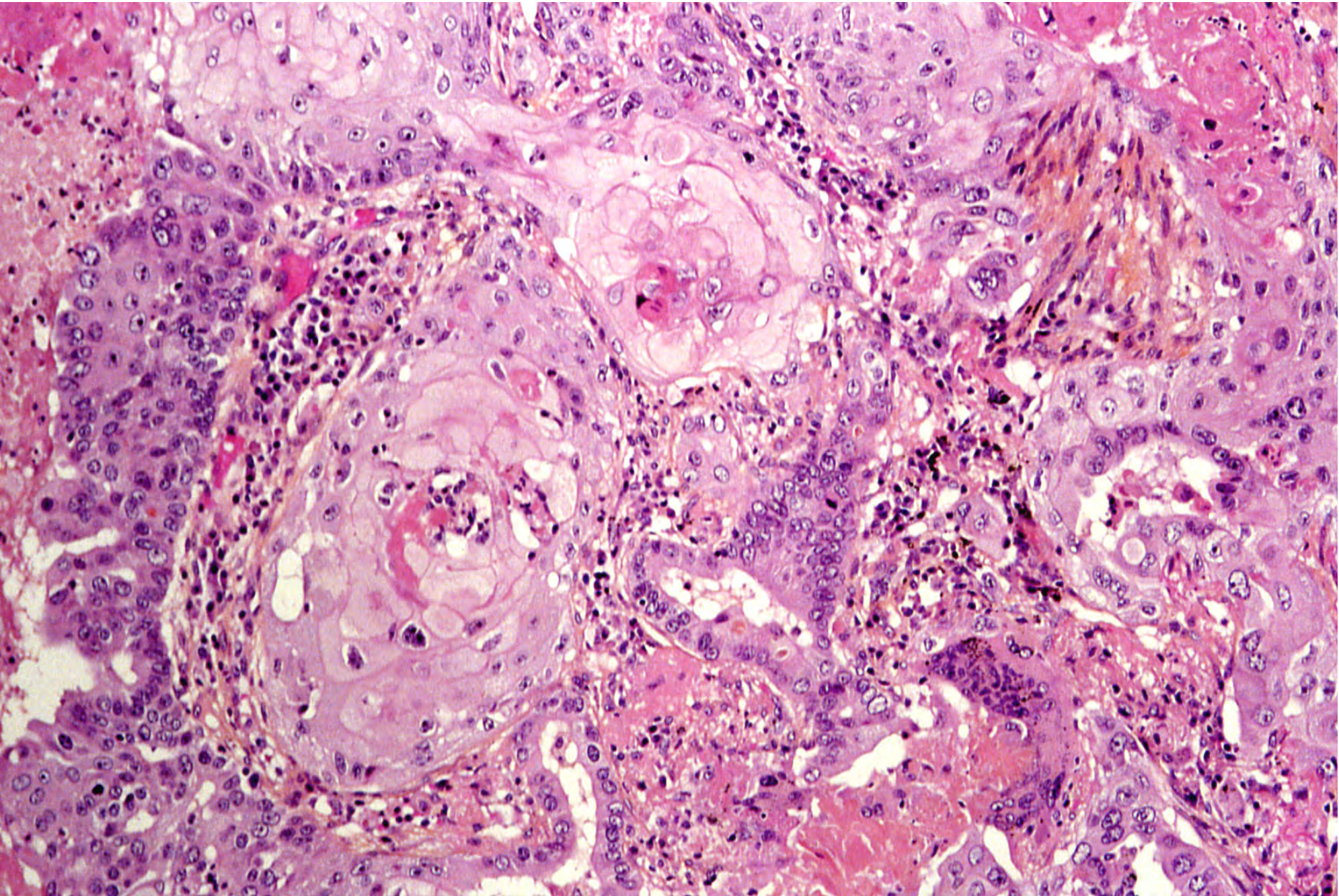
Non keratinizing squamous cell c.

- Diffusely positive for P40/P63, and/or CK5/6
 - Negative for TTF1 or mucin
-

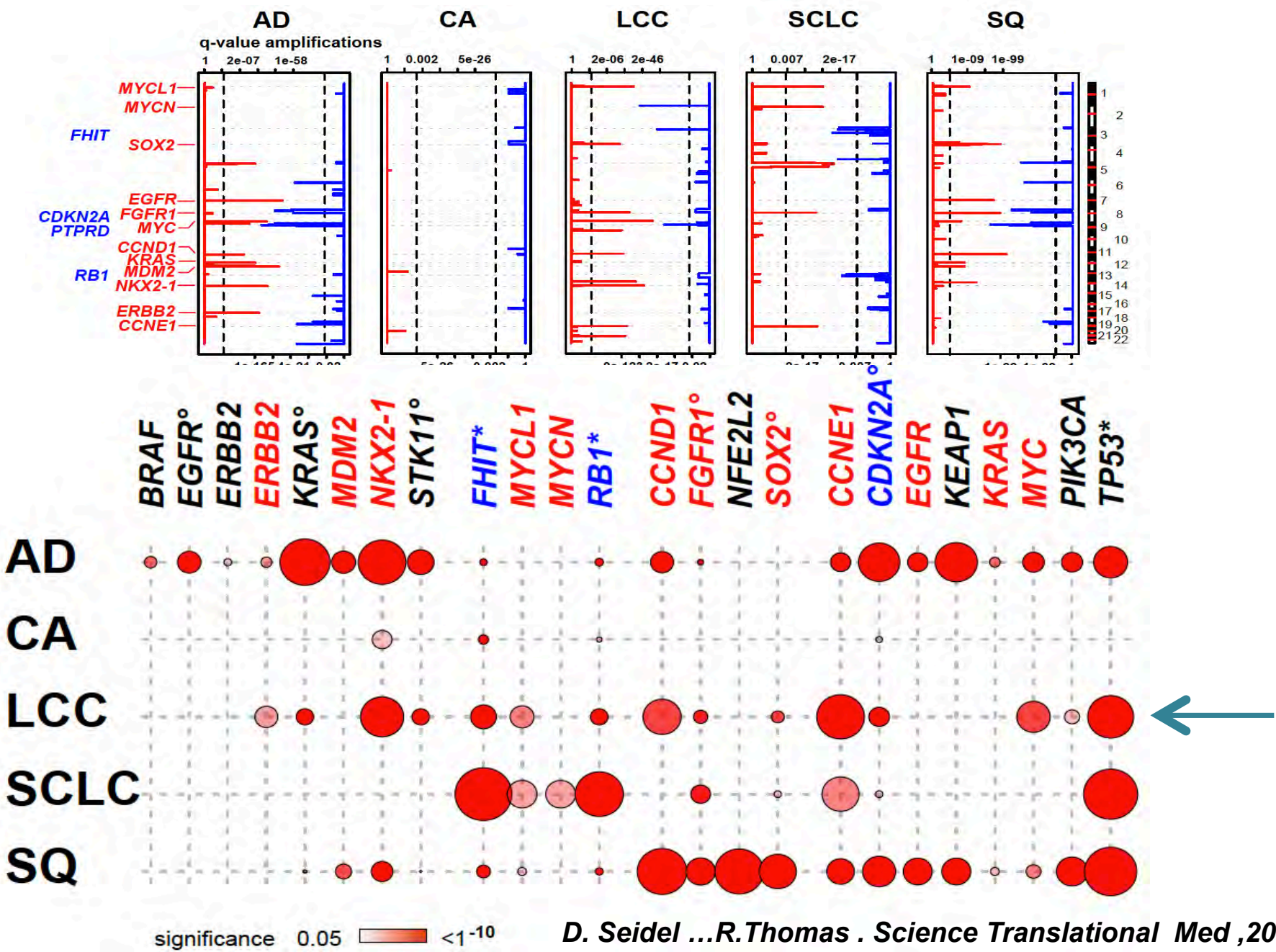
Adenosquamous carcinoma

- Positive for both ADC and SCC in distinct populations
-

Adenosquamous carcinoma



Driver mutations and genomic profiles are histology-related



Carcinome à grandes cellules

OMS 2015 Classification

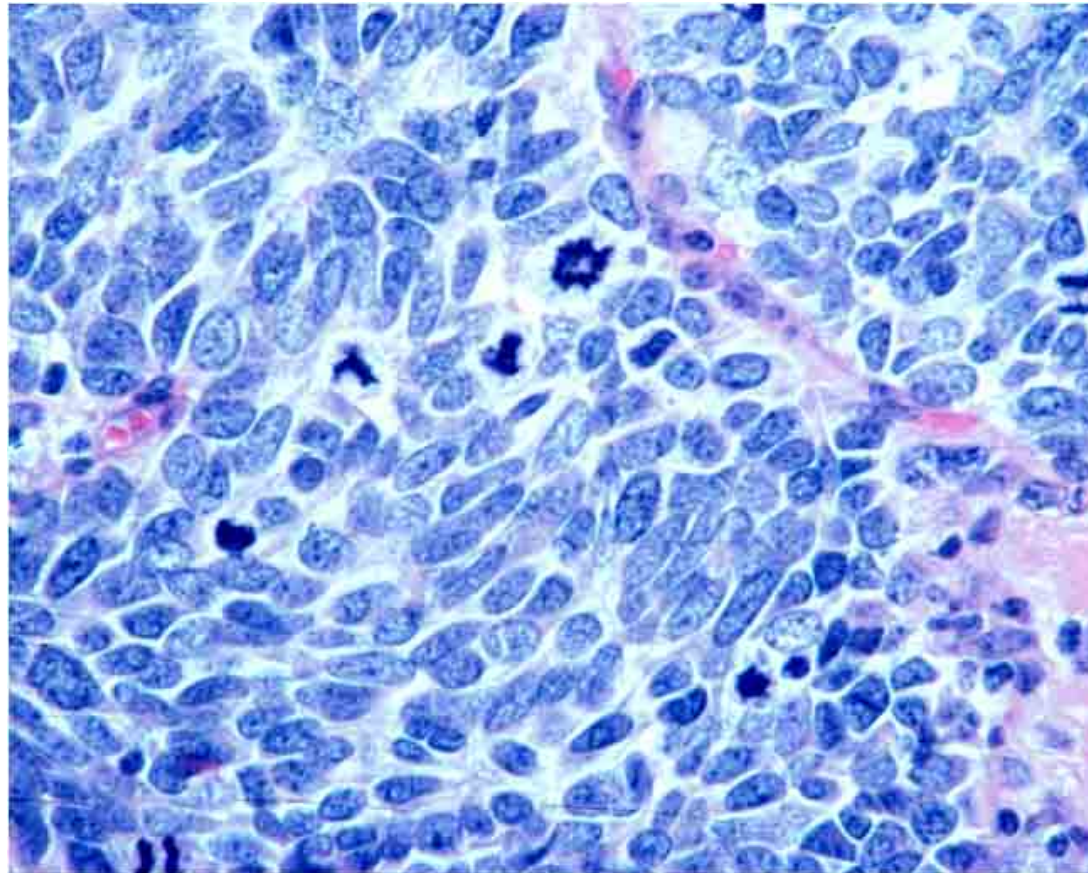
- Carcinome à grandes cellules à phénotype null et sans mucines
- Carcinome à grandes cellules avec phénotype non conclusif
- Large cell carcinoma sans phénotype recherché

OMS 2015 : tumeurs neuroendocrines

- Carcinome à petites cellules
 - CPC composite
- Carcinome neuroendocrine à grandes cellules
 - LCNEC Composite
- Tumeur carcinoïde
 - Typical carcinoid
 - Atypical carcinoid

Pas de changements de concept ; connaissance de leur génomique confirmant que les carcinoïdes ne sont pas les étapes précoces des TNE de haut grade

SCLC: CRITERIA ARE DIFFERENT IN TEXAS



(EVERYTHING IS LARGER IN TEXAS)

Conclusions

- Appliquer la classification WHO dans les essais cliniques et les recherches oncologiques
- Essais cliniques – stratifier les adénocarcinomes par histologie (SOL/MIP) vs (LPA, AC, PAP) ou STAS
 - Résection sous-lobaire Vs lobaire
 - Chimiothérapie adjuvante
- Appliquer les nouveaux concepts au TNM (radiologique/pathologique):
 - Mesure de la taille tumorale
 - Tumeurs multiples: multiples primaires vs métastases pulmonaires
- Nouvelles approches des petites biopsies / cytologies

The 2015 World Health Organization Classification of Lung Tumors

Impact of Genetic, Clinical and Radiologic Advances Since the 2004 Classification

William D. Travis, MD, Elisabeth Brambilla, MD,† Andrew G. Nicholson, MD,‡ Yasushi Yatabe, MD,§ John H. M. Austin, MD,|| Mary Beth Beasley, MD,¶ Lucian. R. Chirieac, MD,# Sanja Dacic, MD,** Edwina Duhig, MD,†† Douglas B. Flieder, MD,‡‡ Kim Geisinger, MD,§§ Fred R. Hirsch, MD,||| Yuichi Ishikawa, MD,¶¶ Keith M. Kerr, MD,### Masayuki Noguchi, MD,*** Giuseppe Pelosi, MD,††† Charles A. Powell, MD,‡‡‡ Ming Sound Tsao, MD,§§§ and Ignacio Wistuba, MD,|||*
On Behalf of the WHO Panel

2015 WHO editors



ELISABETH
BRAMBILLA



WILLIAM TRAVIS



ANDREW NICHOLSON

ALEX MARX
THYMUS



ALLEN
BURKE
HEART

Adénocarcinomes : variants WHO 2015

- Adénocarcinome invasif mucineux
- Adénocarcinome colloïde
- Adénocarcinome foetal
- Adénocarcinome enteric

Variants 2014

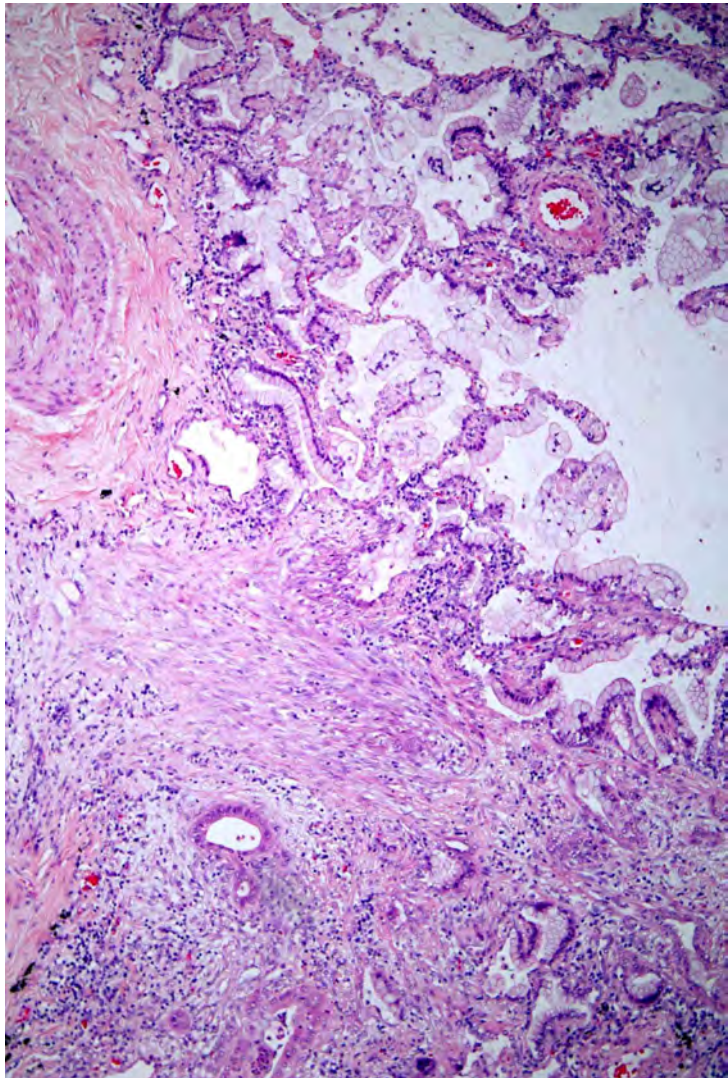
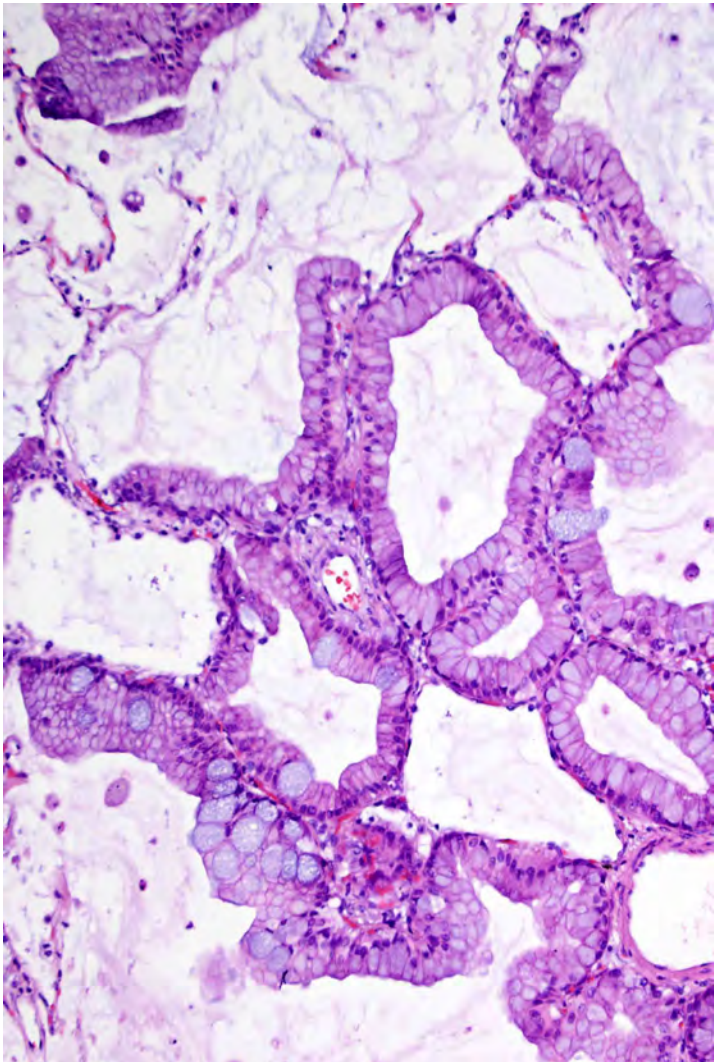
- Adénocarcinome foetal (WDFFA/99)
- Colloid mucineux ("colloid")
- Cystadenocarcinoma mucineux
- Signet ring
- Clear cell

Adénocarcinome Invasif Mucineux

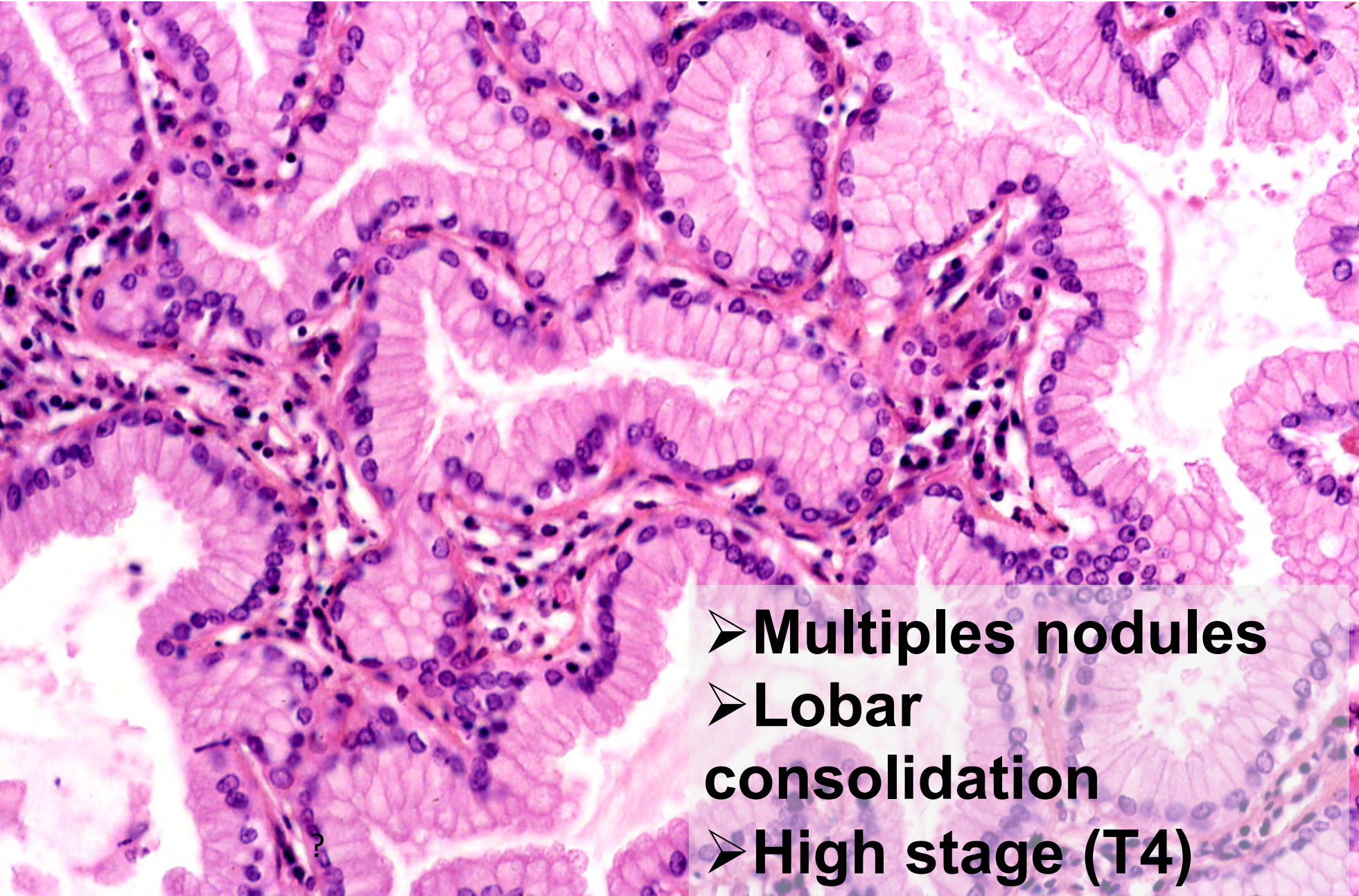
Mutations *KRAS* (75%)



Invasive Mucinous Adenocarcinoma



Variant : Invasive mucinous adenocarcinoma



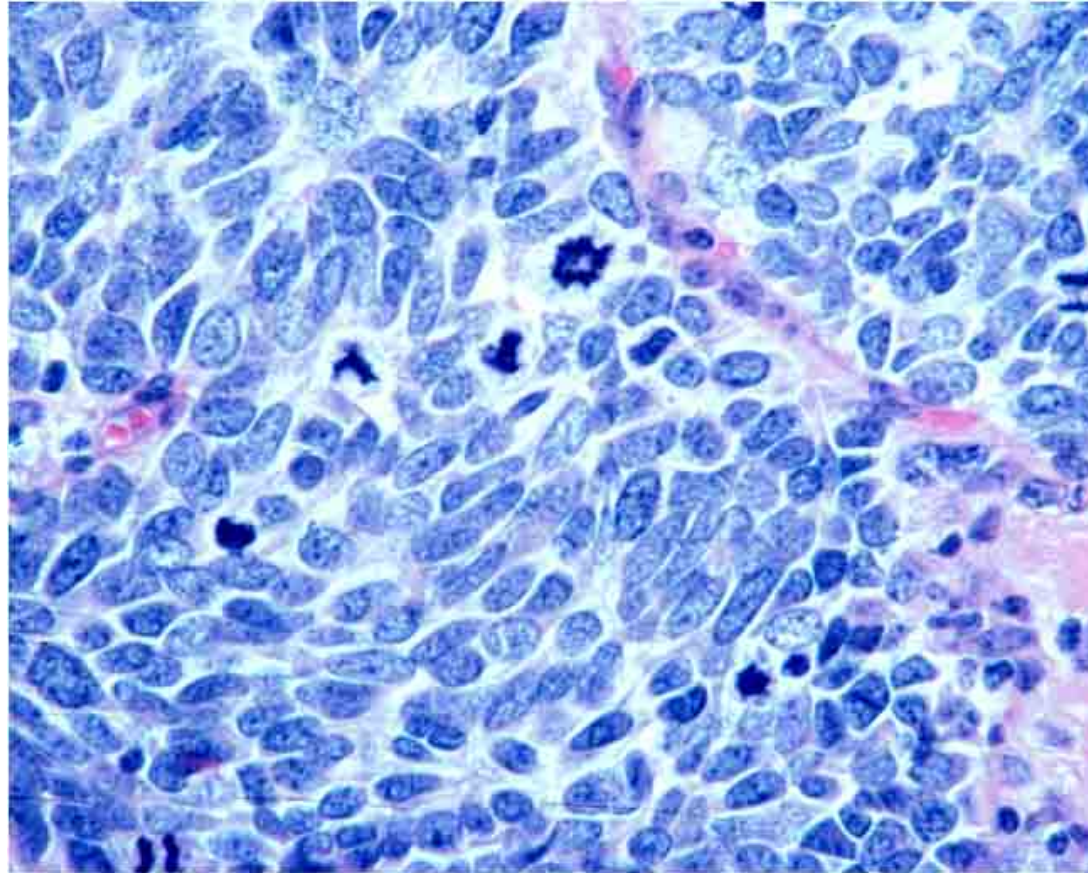
- **Multiples nodules**
- **Lobar consolidation**
- **High stage (T4)**

OMS 2015 : tumeurs neuroendocrines

- Carcinome à petites cellules
 - CPC composite
- Carcinome neuroendocrine à grandes cellules
 - LCNEC Composite
- Tumeur carcinoïde
 - Typical carcinoid
 - Atypical carcinoid

Pas de changements de concept ; connaissance de leur génomique confirmant que les carcinoïdes ne sont pas les étapes précoces des TNE de haut grade

SCLC: CRITERIA ARE DIFFERENT IN TEXAS



(EVERYTHING IS LARGER IN TEXAS)

The 2015 World Health Organization Classification of Lung Tumors

Impact of Genetic, Clinical and Radiologic Advances Since the 2004 Classification

William D. Travis, MD, Elisabeth Brambilla, MD,† Andrew G. Nicholson, MD,‡ Yasushi Yatabe, MD,§ John H. M. Austin, MD,|| Mary Beth Beasley, MD,¶ Lucian. R. Chirieac, MD,# Sanja Dacic, MD,** Edwina Duhig, MD,†† Douglas B. Flieder, MD,‡‡ Kim Geisinger, MD,§§ Fred R. Hirsch, MD,||| Yuichi Ishikawa, MD,¶¶ Keith M. Kerr, MD,### Masayuki Noguchi, MD,*** Giuseppe Pelosi, MD,††† Charles A. Powell, MD,‡‡‡ Ming Sound Tsao, MD,§§§ and Ignacio Wistuba, MD,|||*
On Behalf of the WHO Panel

2015 WHO editors



ELISABETH
BRAMBILLA



WILLIAM TRAVIS



ANDREW NICHOLSON

ALEX MARX
THYMUS



ALLEN
BURKE
HEART

WHERE WAS WHO DEVELOPED?



WHO Classification of Tumours of the Lung, Pleura, Thymus and Heart
Consensus and Editorial meeting, IARC, Lyon, 24–26 April 2014

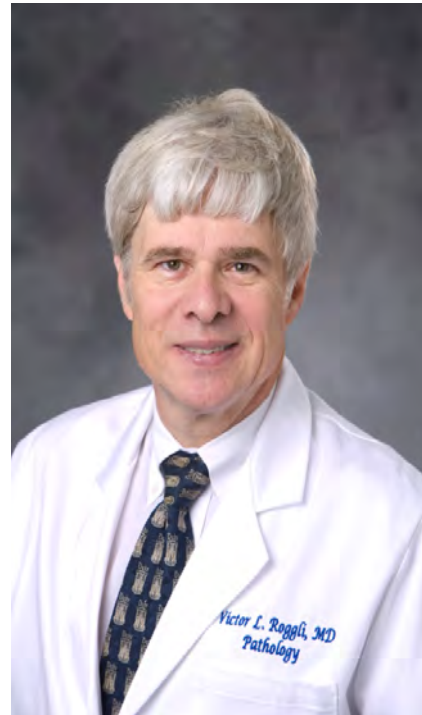


157 Authors from 29
countries

2015 WHO TUMORS OF THE PLEURA: KEY AUTHORS



FRANCOISE
GALLATEAU-SALLE



VICTOR L. ROGLLI



ANDREW CHURG